



جمهورية العراق
وزارة التعليم العالي والبحث العلمي
جامعة كربلاء
كلية الادارة والاقتصاد
قسم الإحصاء
الدراسات العليا

التصنيف الحصين باستعمال التحليل التميزي الليبي اللامعجمي
مع تطبيق عملي

رسالة

مقدمة الى مجلس كلية الادارة والاقتصاد في جامعة كربلاء
وهي جزء من متطلبات نيل درجة ماجستير في علوم الإحصاء

للباحث

جعفر علي فرحان

إشراف

أ. م. د. إيناس عبد الحافظ محمد

2024 م

ـ 1445 هـ

بِسْمِ اللَّهِ الرَّحْمَنِ الرَّحِيمِ

﴿ إِنَّ فِي خَلْقِ السَّمَاوَاتِ وَالْأَرْضِ
وَالْخُلُوفِ الْلَّيْلِ وَالنَّهَارِ لَآيَاتٍ لِّأُولَئِ
الْأَلْبَابِ ﴾ الَّذِينَ يَذْكُرُونَ اللَّهَ قِيَامًا
وَقُعُودًا وَعَلَى جُنُوبِهِمْ وَيَتَفَكَّرُونَ فِي خَلْقِ
السَّمَاوَاتِ وَالْأَرْضِ رَبَّنَا مَا خَلَقْتَ هَذَا
بَاطِلًا سُبْحَانَكَ فَقِنَا عَذَابَ النَّارِ ﴾

صدق الله العلي العظيم
(آل عمران)

إقرار المشرف

أشهد أن إعداد هذه الرسالة الموسومة (التصنيف الحصين باستعمال التحليل التمييزي اللبي اللامعجمي مع تطبيق عملي) والتي تقدم بها الطالب " جعفر على فرحان منصور" قد جرت بإشرافي في قسم الاحصاء - كلية الادارة والاقتصاد - جامعة كربلاء، وهي جزء من متطلبات نيل درجة ماجستير علوم في الاحصاء.

أ.م.د ايناس عبد الحافظ محمد

التاريخ / 2024

توصية رئيس قسم الاحصاء

بناءً على توصية الاستاذ المشرف، أرشح الرسالة للمناقشة.

أ.م.د ايناس عبد الحافظ محمد

رئيس قسم الاحصاء

التاريخ: 2024 /

إقرار الخبير اللغوي

أشهد أن الرسالة الموسومة بـ (التصنيف الحصين باستعمال التحليل التمييزي اللبني الامعلمي مع تطبيق عملي) للطالب جعفر علي فرحان منصور / قسم الاحصاء قد جرت مراجعتها من الناحية اللغوية حتى أصبحت خالية من الاخطاء اللغوية والاسلوبية ولأجله وقعت.

الخبير اللغوي

د. محمد سلام مظہر

جامعة كربلاء – كلية الادارة والاقتصاد

إقرار لجنة المناقشة

نشهد نحن أعضاء لجنة المناقشة بأننا قد اطلعنا على الرسالة الموسومة (التصنيف الحصين
باستعمال التحليل التقييمي النبوي اللامعجمي مع تطبيق عملي) والمقدمة من قبل الطالب "جعفر علي فرحان منصور" وناقشنا الطالب في محتوياتها وفيما له علاقة بها، ووجدنا بأنه جدير بنيل درجة ماجستير علوم في الإحصاء بتقدير (جيد جداً ٩٨%).

م.د سهاد احمد احمد

عضوأ

أ.م.د صدىقي باض محمد

عضوأ

أ.د باسم شلبيه مسلم

رئيساً

أ.م.د ايناس عبد الحافظ محمد

عضوأ ومسرفاً

إقرار رئيس لجنة الدراسات العليا

بناءً على اقرار المشرف العلمي والخبير اللغوي على رسالة الماجستير للطالب " جعفر على فرحان منصور " الموسومة بـ (التصنيف الحصين باستعمال التحليل التمييزي اللبني اللامعجمي مع تطبيق عملي) ارجح هذه الرسالة للمناقشة .

أ.د علي احمد فارس
رئيس لجنة الدراسات العليا

صادقة مجلس الكلية

صادق مجلس كلية الادارة والاقتصاد / جامعة كربلاء على قرار لجنة المناقشة .

أ.م.د هاشم جبار الحسيني
عميد كلية الادارة والاقتصاد - جامعة كربلاء

2024/ /

الإهادء...

الى ...

من خصهم الله تعالى بالكرامة وحباهم بالرسالة محمد وآلها الطيبين
الطاهرين.

من أذكره ولا أنساه الجبل الصامد ادامك الله لي روحًا وقلبًا وفخراً
(والدي الحبيب).

التي غذتني طعم الحياة ونفس الدنيا .
(أمي الغالية).

الذين وقفوا بجانبي وشدوا من أزري طوال أيام الدراسة .
(اخوتي وآخواتي).

الكثير من يterrorismون لي كل خير ويدعون لي في ظهر الغيب، وكانوا
خير اخوة انجبتهم لي الحياة
(زملائي وزميلاتي).

الشمع التي أضاءت لي الطريق
(أساتذتي الفضلاء).

أهدي ثمرة جهدي المتواضع هذا

جعفر ...

شكراً وامتنان ...

بعد التوجيه بالحمد والشكر للملك القدوس الذي وفقني لإنجاز هذه الرسالة.

يسريني أن أتقدم بعظيم شكري وامتناني إلى أستاذتي الفاضلة (أ.م.د إيناس عبد الحافظ محمد) لقبولها الاشراف على هذه الرسالة والتي كان لتوجيهاتها القيمة وملاحظاتها السديدة الأثر العميق في تذليل الكثير من الصعوبات، وفقها الله وجزاها خيراً الجزاء.

كما أتقدم بجزيل الشكر والتقدير إلى أستاذتي الكرام رئيس لجنة المناقشة وأعضائها لتفضلهم بالموافقة على مناقشة هذه الرسالة وتقويمها.

ووافر شكري وامتناني إلى السيدة رئيس قسم الإحصاء وأستاذتي الأجلاء في قسم الإحصاء كافة لما قدموه لي من علم وعون كريمين، والى كل زملائي وزميلاتي ولكل منْ أعاذه بنصيحة بناء شكري وامتناني.

ومن الله التوفيق

الباحث...

قائمة المحتويات

الصفحة	الموضوع
أ.	العنوان
ب.	الآلية القرانية
ج.	الإهداء
د.	شكر وامتنان
هـ-ز	قائمة المحتويات
ح	قائمة الجداول
طـ-ي	قائمة الأشكال
كـ-ل	قائمة المصطلحات والرموز
ع	المستخلص
6-1	الفصل الأول (منهجية الرسالة والاستعراض المرجعي)
1	1-1 المقدمة
2	2-1 شكلة الرسالة
2	3-1 هدف الرسالة
6-3	4-1 الاستعراض المرجعي
30-7	الفصل الثاني (الجانب النظري)
7	تمهيد
10-7	2-1 التحليل التمييزي

10	2-2 التحليل التميزي المعلمي
11-10	3-2 التحليل التميزي الخطى
13-12	4-2 التحليل التميزي التربيعي
15-13	5-2 المقدر الليبي
16-15	6-2 اختيار الدوال الليبية
16	7-2 عرض الحزمة
19-16	8-2 اختيار معلمة عرض الحزمة
21-19	9-2 تصنيف المشاهدات
23-21	10-2 معدل خطأ التصنيف
24-23	11-2 تقدير الكثافة الليبية
24	12-2 التحليل التميزي اللامعجمي
27-24	13-2 التحليل التميزي الليبي
29-27	14-2 التحليل التميزي الليبي الحصين
30-29	15-2 طريقة التحقق المتقاطع الممهد
55-31	الفصل الثالث (الجانب التجريبي)
31	التمهيد
32-31	1-3 مفهوم المحاكاة
37-32	2-3 خطوات تجارب المحاكاة
55-37	3-3 تحليل نتائج المحاكاة

74-56	الفصل الرابع(الجانب التطبيقي)
56	الممهيد
57-56	1-4 ابيضاض الدم المفاوي
65-57	2-4 عينة التطبيق
73-66	3-4 اختبار البيانات
74-73	4-4 تحليل البيانات
76-75	الفصل الخامس (الاستنتاجات و التوصيات)
75	1-5 الاستنتاجات
76	1-5 التوصيات
82-77	المصادر
	المصادر العربية
	المصادر الأجنبية
A	Abstract

قائمة الجداول

رقم الجدول	عنوان الجدول	الصفحة
(2-1)	نتائج التصنيف (Classification) لمجموعتين	20
(3-1)	ملخص النماذج المقترضة في جداول المحاكاة	36
(3-2)	المعدل والانحراف المعياري لخطأ التصنيف وفق أساليب التحليل التمييزي للنموذج الأول	48
(3-3)	المعدل والانحراف المعياري لخطأ التصنيف وفق أساليب التحليل التمييزي للنموذج الثاني	41
(3-4)	المعدل والانحراف المعياري لخطأ التصنيف وفق أساليب التحليل التمييزي للنموذج الثالث	44
(3-5)	المعدل والانحراف المعياري لخطأ التصنيف وفق أساليب التحليل التمييزي للنموذج الرابع	47
(3-6)	عدد مرات الأفضلية ونسبة الأفضلية لكل اسلوب وعند كل دالة هدف	54
(4-1)	البيانات الحقيقية للمجموعة الاولى التي تمثل المرضى غير المصابين	59
(4-2)	البيانات الحقيقية للمجموعة الثانية التي تمثل المرضى المصابين	62
(4-3)	نسبة خطأ التصنيف (RM) للبيانات الحقيقية باستعمال إسلوب التحليل التمييزي الليبي الحصين	73

قائمة الاشكال

رقم الشكل	عنوان الشكل	الصفحة
(2-1)	انموذج تصنيف التحليل التميزي الخطى لصنفين من المشاهدات	11
(2-2)	أنموذج تصنيف التحليل التميزي التربيعي	13
(2-3)	تأثيرات معلمة عرض الحزمة على تقديرات الكثافة الليبية	17
(2-4)	توضيح التحليل التميزي الليبي	25
(3-1)	الرسم المحيطي دوال كثافة الهدف	35
(3-2)	التصنيف وفق التحليل التميزي الخطى عندما $k=1000$ ، $n=100$	50
(3-3)	التصنيف وفق التحليل التميزي الخطى عندما $k=1000$ ، $n=500$	50
(3-4)	التصنيف وفق التحليل التميزي الخطى عندما $n=1000$ ، $k=1000$	50
(3-5)	التصنيف وفق التحليل التميزي الخطى عندما $n=5000$ ، $k=1000$	50
(3-6)	التصنيف وفق التحليل التميزي التربيعي عندما $n=100$ ، $k=1000$	51
(3-7)	التصنيف وفق التحليل التميزي التربيعي عندما $n=500$ ، $k=1000$	51
(3-8)	التصنيف وفق التحليل التميزي التربيعي عندما $n=1000$ ، $k=1000$	51
(3-9)	التصنيف وفق التحليل التميزي التربيعي عندما $n=5000$ ، $k=1000$	51

52	التصنيف وفق التحليل التميزي الليبي عندما $k=1000$ ، $n=100$	(3-10)
52	التصنيف وفق التحليل التميزي الليبي عندما $k=1000$ ، $n=500$	(3-11)
52	التصنيف وفق التحليل التميزي الليبي عندما $k=1000$ ، $n=1000$	(3-12)
52	التصنيف وفق التحليل التميزي الليبي عندما $k=1000$ ، $n=5000$	(3-13)
53	التصنيف وفق التحليل التميزي الليبي الحصين عندما $n=100$ ، $k=1000$	(3-14)
53	التصنيف وفق التحليل التميزي الليبي الحصين عندما $n=500$ ، $k=1000$	(3-15)
53	التصنيف وفق التحليل التميزي الليبي الحصين عندما $n=1000$ ، $k=1000$	(3-16)
53	التصنيف وفق التحليل التميزي الليبي الحصين عندما $n=5000$ ، $k=1000$	(3-17)
66	انتشار البيانات للمتغير WBC لمجموعة غير المصابين	(4-1)
67	انتشار البيانات للمتغير RBC لمجموعة غير المصابين	(4-2)
68	انتشار البيانات للمتغير HGB لمجموعة غير المصابين	(4-3)
68	انتشار البيانات للمتغير PLT لمجموعة غير المصابين	(4-4)
69	انتشار البيانات للمتغير WBC لمجموعة المصابين	(4-5)
70	انتشار البيانات للمتغير RBC لمجموعة المصابين	(4-6)
71	انتشار البيانات للمتغير HGB لمجموعة المصابين	(4-7)
72	انتشار البيانات للمتغير PLT لمجموعة المصابين	(4-8)
74	التحليل التميزي الليبي الحصين للبيانات الحقيقية	(4-9)

المصطلحات المستعملة في هذا البحث

المصطلح باللغة العربية	المصطلح باللغة الانكليزية
التحليل التمييزي	Discrimenant analysis
دالة التمييز الخطى	Linear Discriminant Function
الدالة التمييزية اللاخطية	Non – Linear Discriminant Function
التحليل التمييزي المعلمى	Parametric Discriminant Analysis
التحليل التمييزي الخطى	Linear Discriminant Analysis
التحليل التمييزي التربيعى	Quadratic Discriminant Analysis
المقدر اللبي	Kernel Estimator
الدوال اللبية	kernel Functions
عرض الحزمة	Bandwidth
معلمة عرض الحزمة	Bandwidth Parameter
تصنيف المشاهدات	Classification data
معدل خطأ التصنيف	Misclassification rate
تقدير الكثافة اللبية	Kernel Density Estimation
التحليل التمييزي اللامعلمى	Non-Parametric Discriminant Analysis

التحليل التمييزي اللبي	Kernel Discriminant Analysis
التحليل التمييزي اللبي الحصين	Robust Kernel Discriminant Analysis
طريقة التحقق المتقطع الممهد	Smoothed Cross –Validation

المستخلص:

ان غالبية البيانات في عالمنا الواقعي تحرف عن الافتراضات المثالية التي تتطلبها الأساليب الإحصائية التقليدية والتي يتسبب معها انتهاك افتراض الحالة الطبيعية في البيانات ، او ان هنالك بيانات تم تجميعها تمثل بيانات غير خطية ونتيجة لذلك قد نواجه مشكلة في التصنيف لايمكن للتحليل التميزي التقليدي مواجهة هذه المشكلة فلابد من البحث عن طريقة حصينة تعامل مع هذه المشكلة لذلك هدفت هذه الرسالة الى استعمال اسلوب التحليل التميزي الليبي الحصين (Robust Kenel Discrimenant) في حالة انحراف البيانات عن الحالة الطبيعية لها ومقارنته مع التحليل التميزي RKDA الليبي التقليدي والتحليل التميزي الخطي والتربيعي باستعمال معيار معدل خطأ التصنيف \widehat{MR} لاختيار افضل اسلوب في التصنيف وذلك من خلال جانبيين ، في الجانب التجريبي وباستعمال تجارب محاكاة مونت-كارلو تبين بان اسلوب التحليل التميزي الخطي هو الافضل من باقي اساليب التحليل التميزي عند دوال الكثافة الهدف التي تتوزع طبيعياً (D, E) وان اسلوب التحليل التميزي الليبي حق افضلية عند دول الكثافة الكاوسيه (D, E) عند حجم العينة (n=1000, 5000). وحقق اسلوب التحليل التميزي الليبي افضلية على باقي الاساليب عند دالة الكثافة (K) بنسبة قليلة. وكذلك حق اسلوب التحليل التميزي الليبي الحصين افضلية على باقي الاساليب عند دوال الكثافة المنحرفة عن التوزيع الطبيعي بنسبة افضلية عالية. اما الجانب التطبيقي الذي تم فيه الاعتماد على سجلات وحدة المختبر في مستشفى الحسين التعليمي في محافظة كربلاء المقدسة لغرض الحصول على المتغيرات التي لها علاقة بمرض إبيضاض الدم المفاوي (Lymphocytic leukemia) والتي تضمنت (100) مشاهدة من الذكور والإناث وقد قسمت المشاهدات إلى مجموعتين الأولى شملت الأشخاص غير المصابين بالمرض بحجم (50) مشاهدة وكانت متغيرات التطبيق هي Y : متغير مثل الاصابة ام عدم الاصابة بالمرض ، اما المتغيرات التوضيحية فهي X_1 : جنس المصاب ، X_2 : خلايا الدم البيضاء WBC (White Blood Cells) ، X_3 : خلايا الدم الحمراء RBC (Red Blood Cells) ، X_4 : نسبة هيموجلوبين الدم HGB ، X_5 : نسبة الصفائح الدموية PLT (Blood Platelets) (Hemoglobin Blood) وتم التوصل فيه الى ان اسلوب التحليل التميزي الليبي الحصين اعطى نسبة خطأ التصنيف للمجموعة الأولى $(\widehat{MR}_1 = 0.12)$ وللمجموعة الثانية $(\widehat{MR}_2 = 0.56)$ ، وبذلك تكون نسبة خطأ التصنيف الكلي (بلغ 0.34) وهي نسبة خطأ قليلة تدل على دقة التصنيف.

الفصل الأول

**منهجية الرسالة
والاستعراض المرجعي**

الفصل الأول

(Introduction) 1-1

يعرف التحليل التمييزي (Discriminant Analysis DA) بأنه عملية استكشافية وتقريبية تستعمل في العديد من المجالات، بما في ذلك العلوم الاجتماعية، والعلوم الطبيعية، والإحصاء، وعلوم الحاسوب، والاقتصاد، وغيرها بهدف فصل وتحديد العوامل المختلفة التي تؤثر في الظواهر أو البيانات المدروسة. أما التحليل التمييزي الحصين (Robust Discriminant Analysis) فهو أسلوب إحصائي يستعمل للتصنيف وتقليل الأبعاد عند التعامل مع البيانات التي قد تحتوي على قيم متطرفة أو البيانات التي تتحرف عن التوزيع الطبيعي والذي يعد امتداداً للتحليل التمييزي التقليدي (Discriminant Analysis) يهدف إلى تقديم نتائج أكثر حصانة عند مواجهة الانحرافات عن الافتراضات الأساسية كتوزيع البيانات الطبيعي وتجانس مصفوفة التغير.

وعليه تكمن أهمية التحليل التمييزي الحصين في قدرته على تقديم نتائج أكثر موثوقية ودقة في وجود بيانات تنتهك افتراضات DA التقليدية. من خلال احتساب القيم الشاذة وتخفيف افتراضات التوزيع ، تقدم RDA بديلاً حصيناً ومرناً لمهام التصنيف وتقليل الأبعاد ، مما يجعله أسلوب جيد في مختلف المجالات حيث قد تكون البيانات عرضة لعدم اليقين والتنوع.

لذلك جاءت هيكلة الرسالة متضمنة خمسة فصول:

الفصل الأول منهجية الرسالة تضمن المقدمة ، مشكلة الرسالة ، هدف الرسالة والإستعراض المرجعي لأهم البحوث وبعض الدراسات السابقة ذات الصلة بموضوع الرسالة.

والفصل الثاني تضمن الجانب النظري الذي تطرق لأهم المفاهيم الأساسية للتحليل التمييزي وانواعه وكذلك تصنيف المشاهدات وخطأ التصنيف وعرض الحزمة وخصائصه وطرائق اختيار عرض الحزمة.

الفصل الأول

منهجية الرسالة والاستعراض المراجع

والفصل الثالث شمل الجانب التجريبي، اذ تضمن تجارب محاكاة مونت -كارلو لاختبار افضلية

اساليب التحليل التميزي المستعملة في هذه الرسالة.

والفصل الرابع الجانب التطبيقي، اذ تم الاعتماد على سجلات وحدة المختبر في مستشفى الحسين

التعليمي في محافظة كربلاء المقدسة لغرض الحصول على المتغيرات التي لها علاقة بمرض

إبيضاض الدم المفاوي (Lymphocytic leukemia) والتي تضمنت (100) مشاهدة من الذكور

والإناث.

والفصل الخامس شمل أهم الاستنتاجات والتوصيات التي تم الخوض عنها الرسالة وتم التوصل إليها في

الجانبين التجريبي والتطبيقي.

1-2 مشكلة الرسالة (Problem of the thesis)

غالباً ما تتحرف البيانات عن الافتراضات المثالية التي تتطلبها الأساليب الإحصائية التقليدية ففي

هذه المواقف يتم فيها انتهاك افتراض الحالة الطبيعية في البيانات (التوزيع الطبيعي للبيانات) ، او ان

هناك مجموعات من البيانات غير خطية تؤدي إلى مواجهة مشكلة في التصنيف لا يمكن للتحليل التميزي

التقليدي مواجهة هذه المشكلة فلابد من البحث عن طريقة حصينة تتفق مع هذه المشكلة اذ يمكن حل

هذه المشكلة باستعمال التحليل التميزي الليبي الحصين (RKDA) .

1-3 هدف الرسالة (Aim of the thesis)

تهدف الرسالة إلى استعمال التحليل التميزي الليبي الحصين في حالة وجود تلوث في البيانات

ومقارنته مع التحليل التميزي التقليدي والتحليل التميزي الخطى والتربيعى باستعمال معيار معدل

خطأ التصنيف لاختيار افضل اسلوب في التصنيف.

4-1 الاستعراض المراجعى (Literature Review)

تناولت العديد من الابحاث والدراسات موضوع التحليل التمييزي بصورة في عامة وكذلك التحليل التمييزي الليبي ولكن هنالك ندرة في الدراسات التي تناولت موضوع التحليل التمييزي الليبي الحصين على حد علم الباحث ندرج بعضًا من الدراسات والبحوث والتي تناولت موضوع التحليل التمييزي الليبي الحصين وهي:

- في عام (2009) اقترح الباحث (Nudurupati) تحليل تمييزي لا معلمي أقل حساسية من التحليل التمييزي التقليدي للانحرافات عن الافتراضات المعتادة كاعتدالية البيانات باستعمال منهجية متابعة اسقاط المجموعات الداخلة في التصنيف حيث يكون مؤشر الإسقاط هو احتمال ترشيح مجموعتين لتصنيص المشاهدة الجديدة باستعمال مسافات تقليدية بسيطة من المراكز المتوقعة بناءً على مركزية النقطة الجديدة المقاسة باستخدام تحويلين: تحويل متماثل من مجموعتين وتحويل لاستبدال مجموعة النقاط. ومن خلال تجارب المحاكاة تبين أن الطريقة المقترحة توفر معدلات تصنيف خاطئ أقل من الإجراءات التقليدية مثل تحليل التمييز الخطي وتحليل التمييز التربيري .^[19]

- في عام (2011) اقترح (You Di & et al.) وآخرون طريقة جديدة في تصميم الطرائق الليبية ، وهي العثور على المعلمات الليبية التي تتفى عامل مع المشكلة الخطية بشكل واضح كي تصبح دالة (Kernel) نمثل المصنف البيزي الخطي والتي يمكن ان تطبق بنجاح في العديد من خوارزميات لأسلوب التحليل التمييزي الليبي (KDA) وبينت النتائج فائدة هذا الأسلوب المقترن وان صيغة (Kernel) لتصنيف التحليل التمييزي تعطى اعلى معدلات التعرف على الانماط.^[28]

الفصل الأول

• في عام (2012) اقترح (Stefanos & et al.) وآخرون اسلوباً قوياً في التمييز الليبي الذي يجمع بين تنظيم ذاتية الطيف (Eigenspectrum) مع مستوى الميزة (ER-KDA) على أساس استخراج خاصية التعرف والتحقق على الوجه بناءً على اسلوب تحليل التميزي الليبي (KDA). فقد تم الجمع بين الطريقة المقترنة (ER-KDA) والبيبة الحصينة غير الخطية بشكل مناسب للتعرف على الوجه والتأكيد على الطبقات التي

تطلب الحصانة مقابل القيم المتطرفة.^[30]

• في عام (2014) اقترح الباحثان (Zhang Xiao & Yang Guan) الشبكة اللاسلكية الموزعة على أساس نظام التعرف على الوجه من خلال استعمال اسلوب التحليل التميزي الليبي المتعدد (Margin KDA) مع شبكات جهاز الاستشعار اللاسلكي بالاعتماد على معيار التعظيم الحدي (MMC) Maximization Criterion للحاسبات وفي قواعد بيانات الوجه (CMU, PIE, FERE) من أجل تحسين معلمة تمهد لكل وحدة وبين الباحثان في الجانب التجريبي (المحاكاة) إن اطار العمل لـ (Kernel) المتعدد هو الأجراء الأمثل لتحقيق الأداء، واعطى نتائج عالية مقارنة مع دالة (Kernel) المستندة على طريقة (KDDA).^[32]

• في عام (2017) اقترح (Li et al.) وآخرون التحليل التميزي الليبي اللامعجمي المحلي ((local LKNDA)) والتي تدمج التحليل التميزي التقييدي باستعمال الاحصاء اللامعجمي وتم مقارنة الطريقة مع طرائق التحليل التميزي التقليدي باستعمال ست تجارب محاكاة والتي اثبتت جميعها ان طريقة (LKNDA) لها دقة تصنيف اعلى و تعد حللاً بديلاً للحالات التمييزية لاستخراج الميزات غير الخطية المعقدة أو استخراج الميزات غير المعروفة.

وتم تطبيق الطريقة على بيانات سوق الاوراق المالية.^[14]

الفصل الأول

• في عام (2019) اقترح (Yu et al.) وآخرون انموذج تحليل تميّز بيري لاملمي جديد يقوم باختيار المتغير وتصنيفه ضمن إطار عمل بسيط. يتم تعين مقدمات شجرة Polya للتوزيعات المجهولة لمجموعة مشروطة لحساب عدم الدقة ، والسامح للمعتقدات السابقة حول التوزيعات ليتم دمجها ببساطة كمعلمات Hyperparameters . تم التوصل الى ان اعتماد الاستدلال البيري في ظل التحليل التميّز يؤدي الى تكلفة حسابية اقل. واظهرت الطريقة المقترحة أداءً جيداً عند مقارنتها

بالأساليب التقليدية.^[29]

• في عام (2020) استعملت الباحثة (جاسم) اسلوبين في تصنیف البيانات و هما اسلوب التحليل التميّز الخطی (LDA) و اسلوب التحليل التميّز الالبي (KDA) بهدف ايجاد الدالة التميّزية لكل منها واستعمالها كدالة تصنیف (تمیز) للاسلوبین بين المرضی ، باستعمال بيانات حقيقة لمجموعتين من المرضی المصابین وغير المصابین بمرض اللوكيمیا وتوصلت الى ان اسلوب التحليل التميّز الخطی هو الافضل لكونه يعطی اقل خطأ تصنیف للبيانات . اذ تم اجراء المقارنة بين الاسلوبین وفق معيار احتمال خطأ التصنیف (Misclassification)^[2].

• في عام (2022) اقترح (Obudho et al.) وآخرون دالة تمیز لبیة حصینة لاملمیة تم بواسطتها معادلة مشکلة التصنیف في الحالات التي يتم فيها انتهاء شرط التوزیع الطبیعی للبيانات المستعملة اذ حساب معدلات التصنیف الخطی لمختلف مصفوفات النطاق التردیدی وقارنوا الطريقة المقترحة دوال التصنیف المعلمیة مثل التميّز الخطی والتميّز التربیعی باستعمال تجارب المحاكاة. وتم التوصل الى ان الطريقة المقترحة توفر أداءً جيداً من حيث معدلات التصنیف الخطی لمصنف تمیز للبی عند تحديد النطاق التردیدی الصحيح بالمقارنة مع المصنفات الموجودة الأخرى المستعملة.^[20]

• في نفس العام (2022) استعمل (Gupta et al.) وآخرون التحليل التميّز بأبعاد مختلفة مثل الخطی والتربیعی للتصنیف الثنائي لتحليل متلازمة تکیس المبايض ومقارنته باسلوب التعلم الآلي

الفصل الأول

منهجية الرسالة والاستعراض المرجعي

وطريقة تقليل الأبعاد الخاضعة للإشراف وتم التوصل الى ان باستخدام التحليل التمييزي يحقق دقة أعلى وتبين أقل مع دقة تدريب تصل إلى 97.37٪ ودقة اختبار 95.92٪ باستخدام التحليل التربيعي التمييزي مقارنة بباقي الطرائق .^[11]

استكمالاً لما تقدم من دراسات وبحوث التي تناولت موضوع التحليل التمييزي بصورة في عامة وكذلك التحليل التمييزي الليبي فنلاحظ بأنه لا توجد دراسات عربية تناولت موضوع التحليل التمييزي الليبي الحصين باستعمال دوال كثافة لبيبة منحرفة عن التوزيع الطبيعي فالشرط الاساسي للتحليل التمييزي الليبي هو ان تكون دالة الكثافة الليبية المستعملة لها توزيع كاوسي ولكن في الكثير من الحالات تحرف البيانات عن هذا الافتراض فلابد من استعمال اسلوب تحليل تمييزي يتنقى عامل مع هذه الحالات فلذلك تم استعمال دوال كثافة لبيبة كاوسيه ودوال كثافة لبيبة تحرف عن التوزيع الكاوسي والمقارنة بين الاساليب التمييزية .

الفصل الثاني

الجانب النظري

التمهيد (Preface)

تم في هذا الفصل التطرق الى بعض المفاهيم الأساسية المتعلقة بالتحليل التمييزي وعلاقته بالدوال اللبية (Kernel Functions) وتصنيف المشاهدات وقياس الدقة باستعمال معدل خطأ Bandwidth (MR) مع الطرائق اللبية (kernel) التي تسمى بطرائق عرض الحزمة (Bandwidth) . (methods).

1-2 التحليل التمييزي (Discriminant Analysis)

يعد اسلوب التحليل التمييزي من الاساليب المهمة في تحليل البيانات متعددة المتغيرات ، اذ أنه يعتمد على نوع المشكلة ونوع البيانات سواء كانت هذه البيانات (كمية او نوعية) وله عدة تطبيقات عملية مهمة ، اذ يستعمل في مختلف المجالات من أهمها الزراعية ، الطبية كتصنيف الأمراض ومعرفة شدة الإصابة بها.

يعتمد اسلوب التحليل الاحصائي لمتعدد المتغيرات على الظواهر التي لها ابعاد ومتغيرات متعددة لوصفها وتحليلها. ان التحليل التمييزي يهتم بمسألة التمييز بين مجموعتين او اكثر والتي تشتراك فيما بينها بمجموعة من الصفات والخصائص بدرجة مختلفة وذلك باستعمال دالة خاصة تسمى الدالة التمييزية (Discriminant Function). تتبعها عملية التصنيف وهي عملية تلبي عملية تكوين الدالة التمييزية، إذ يتم الاعتماد على هذه الدالة في التنبؤ وتصنيف المفردة الجديدة لإحدى المجموعات قيد الدراسة بأقل خطأ تصنيف ممكن.[31]

يعتمد انموذج التحليل التمييزي على الوصول إلى دالة التمايز التي تعمل على تعظيم الفروق بين متوسط المجموعات وتقليل التشابه في أخطاء التصنيف في الوقت ذاته، وذلك من خلال إيجاد مجموعات خطية من المتغيرات والتي غالباً ما يطلق على المتغيرات الكمية في التحليل التمييزي متغيرات مستقلة أو منبئة، ويشار أيضاً لمتغير انتماء المجموعة بالمتغير التابع أو المتغير الحمكي

الفصل الثاني

الجانب النظري

التصنفي. ولا تحتاج بيانات التحليل التمييزي لأن تكون معيارية، أي أن يكون لها وسط صفر وتبالين يساوي الواحد، وذلك لأن نتيجة تحليل التمييزي لا تتاثر بكثرة بتغير مفردات المتغيرات [10].

ومن الدوال التمييزية التي يمكن استعمالها :

(1) دالة التمييز الخطى (Linear Discriminant Function)

تسمى بدالة فيشر (Fisher) نسبة إلى الباحث الذي قام باشتقاقها ، وتسعمل عندما تكون العلاقة

بين المتغيرات خطية. [12].

لفترض ان البيانات الأصلية في X مقسمة الى C من الأصناف كأن تكون $X \in R^{n+n_i}$ اذ ان $X = [X_1, X_1, \dots, X_C]$ حيث أن فانه يمكن تعريف معيار (Fisher) كالتالي: [12]

$$\max_{\lambda} J(\lambda) = \frac{\lambda' \delta_b \lambda}{\lambda' \delta_t \lambda} \quad \dots (2-1)$$

λ : متوجه مميز

وان :

$$\delta_b = \frac{1}{N} \sum_{i=1}^c n_i (\delta_i - \delta_0)(\delta_i - \delta_0)' \quad \dots (2-2)$$

δ_b مصفوفة الانتشار بين الأصناف المعرفة في فضاء المتغيرات

$$\delta_t = \frac{1}{N} \sum_{i=1}^N (\delta(x_i) - \delta_0)(\delta(x_i) - \delta_0)' \quad \dots (2-3)$$

δ_t مصفوفة الانتشار الكلية المعرفة في فضاء المتغيرات

وان :

δ_i يمثل متوجه المتوسطات لعينات التدريب في الصنف i

الفصل الثاني

الجانب النظري

δ_0 يمثل متجه المتوسطات لكل عينات التدريب (لكل الاصناف)

$\delta_i(x_i)$ الصنف i في فضاء المتغيرات

(2) الدالة التربيعية او الدالة اللاخطية (Non – Linear Discriminant Function)

تستعمل عندما تكون العلاقة بين المتغيرات غير خطية (تربيعية ، او ذات درجة أعلى). ان اهم خطوة في التحليل التمييزي هي حساب التمييز اذ يهدف الى تكوين صيغة خطية او غير خطية بين المتغيرات لتصنيف المفردات الى المجموعات تتنمي اليها .

ان دالة التمييز الخطى تستند الى تركيب خطى للمتغيرات ، وفي حالة كون البيانات لا تتتوفر فيها شروط التمييز الخطى اي عدم تساوى مصفوفة التباين والتباين المشترك للمجموعات سوف تستعمل دالة التمييز التربيعي .

فإذا كان هناك v من المجموعات (Groups) المقابلة لدواال الكثافة f_v, f_{v-1}, \dots, f_1 وان الهدف هو تعين جميع نقاط x من فضاء العينة لواحدة من تلك المجموعات او دوال الكثافة ، سوف نقارن القمم الموزونة لدواال الكثافة للحصول على قاعدة التمييز البيزية (Bayes Discriminant rule [12] الآتية:

$$x \text{ is allocated to group } j_0 \text{ if } j_0 = \max_{j=1,\dots,v} \pi_j f_j(x) ; \quad \dots(2-4)$$

اذ ان :

$j = 1, 2, \dots, v$: يمثل عدد المجموعات المدروسة

π_j : تمثل الاحتمال المسبق (Prior Probabilities) لدالة الكثافة ($f_j(x)$)

$f_j(x)$ تمثل دالة الكثافة الاحتمالية

وبحصر جميع قيم x في فضاء العينة ، فإذا كان الجزء $\{P_1, P_1, \dots, P_V\}$ من العينة فان $P = \{P_1, P_1, \dots, P_V\}$

تنتمي للـ P_j اذا كانت x مخصصة للمجموعة j اي أن: [7]

$$x \in P_j \text{ if } x \text{ is allocated to group } j \quad \dots(2-5)$$

فإن قاعدة التمييز المعرفة في المعادلة (2-1) تتضمن دوال الكثافة المجهولة والاحتمالات المسبقة (الممكنة).

ولنفرض انه تم جمع بيانات ، فإنه يمكن تعديل هذه القاعدة الملخصة الى قاعدة تمييز عملية باستعمال قاعدة التمييز البيزية والتقسيم . [20]

2- التحليل التمييزي المعلمي (Parametric Discriminant Analysis)

هناك نوعان اساسيان من التحليل التمييزي المعلمي هما التحليل التمييزي الخطى والتربيعى ، وهما الأكثر استخداماً. إن سهولة حسابهم ناتجة عن افتراض الحالة الطبيعية للمجموعات، والذي لا ينطبق بالضرورة على معظم مجموعات البيانات.

3- التحليل التمييزي الخطى (Linear Discriminant Analysis)

وهو خوارزمية تعلم خاضعة للإشراف تستعمل لتقليل الأبعاد ومهام التصنيف. يتم استخدامه بشكل أساسى في التعرف على الأنماط والتعلم الآلي للعثور على مجموعة خطية من الميزات التي تفصل أو تميز بشكل أفضل بين فئتين أو مجموعات أو أكثر. يفترض أن متغيرات التنبؤ (الميزات) تتبع توزيعاً طبيعياً متعدد المتغيرات ولديها مصفوفة تغير مشتركة لكل مجموعة ويحسب التركيبة الخطية لمتغيرات التوقع التي تفصل بين المجموعات بشكل أفضل بحيث التحليل التمييزي الخطى إلى تعظيم التباين بين المجموعة مع تقليل التباين داخل المجموعة. [6][7]

الفصل الثاني

الجانب النظري

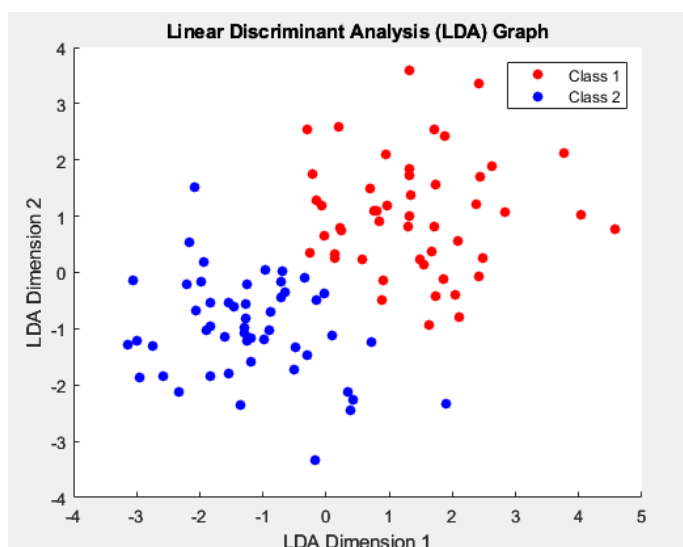
لنفرض انه لدينا f_i دالة توزيع طبيعي بقيم مختلفة من متوجه المتوسطات μ_i ومصفوفة تباين-تبالين مشتركة Σ أي أن $(\Sigma, \mu_i) \sim N(f_i)$. وعليه يمكن كتابة دالة التمييز الخطية كالتالي: [24]

$$x \text{ is allocated to group } j_0 \text{ if } j_0 = \operatorname{argmax}_j \log(\pi_j) - \frac{1}{2}(x - \mu_j)^T \Sigma^{-1} (x - \mu_j) \quad (2-6)$$

$$j \in \{1, \dots, v\}$$

وإن Argmax هي دالة رياضية تستعمل في التحسين أو نظرية القرار. إنه يرمز إلى "وسيطة الحد الأقصى" ويشير إلى قيمة الإدخال التي تزيد من دالة معينة. بمعنى آخر، عندما يكون لديك دالة تأخذ بعض قيم الإدخال وترجع المخرجات، فإن الحد الأقصى لهذه الدالة هو قيمة الإدخال التي تنتج الحد الأقصى من المخرجات.

من المعادلة (2-3)، يمكن ملاحظة أن التقسيم الناتج يتم الحصول عليه عن طريق تقاطعات الإهليجات (ellipsoids) ذات المراكز المختلفة وبين نفس الاتجاه هذا يعطي حدود التقسيم التي هي مستويات. ويمكن أن يُنظر إلى الإهليجات على أنها أشكال بيضاوية الشكل يتم تحديدها بواسطة مركزها وطول نصف القطر في الاتجاهين الرئيسيين. في تحليل التمييز الخطى ، يتم استخدام الإهليجات ذات نصف قطر مختلف لتمثيل فئات مختلفة. يتم تقسيم البيانات إلى فئات مختلفة عن طريق تحديد نقاط البيانات التي تقع داخل أو خارج الإهليجات [2] [24].



شكل رقم (2-1) انموذج تصنیف التحلیل التمیزی الخطی لصنفین من المشاهدات

يبین الشکل (2-1) التحلیل التمیزی الخطی لمجموعتين والذی تم الحصول عليه من استعمال \bar{x}_j كتقدير للـ μ_j و S كتقدير للـ Σ_j وان j هو تباین العینة.

4-2 التحلیل التمیزی التربيعی (Quadratic Discriminant Analysis)

هو خوارزمية تعلم خاضعة للإشراف تستعمل لتصنیف وهو مشابه لـ LDA ولكنه يخفف من افتراض مصفوفة التغایر المشتركة لكل مجموعة وفي حالة کون البيانات المستعملة لانتوزع طبيعیاً او غير خطیة بحيث یسمح لكل مجموعة أن يكون لها مصفوفة التغایر الخاصة بها ، مما يجعلها أكثر مرونة ولكنها تتطلب المزيد من البيانات لتقدير المعلمات بدقة فأن دالة الكثافة يمكن تقديرها بشكل مباشر من البيانات وفق اسلوب یعرف بالمقدر الالبی (Kernel) . اذ ان التقدير الالبی یعتمد على کثافة المجتمع للحصول على قاعدة اکثر شیوعاً للتخصیص وهي قاعدة التمیز الالبیة (BDR) . [26]

يتم الحصول على قاعدة التمیز الالبیة (KDR) من قاعدة التمیز الالبیة من خلال استبدال دالة الكثافة الاحتمالية بتقدير دالة الكثافة الالبیة $(\hat{f}_j(x ; H_j))$ ، وكما یأتي:[6]

$$G_i = \pi_i f_i(\underline{x}) \quad \dots(2-7)$$

$$KDR : d_j(x) = \operatorname{argmax} \hat{\pi}_j \hat{f}_j(x ; H_j) \quad \dots(2-8)$$

$j \in \{1, \dots, v\}$ اذ ان

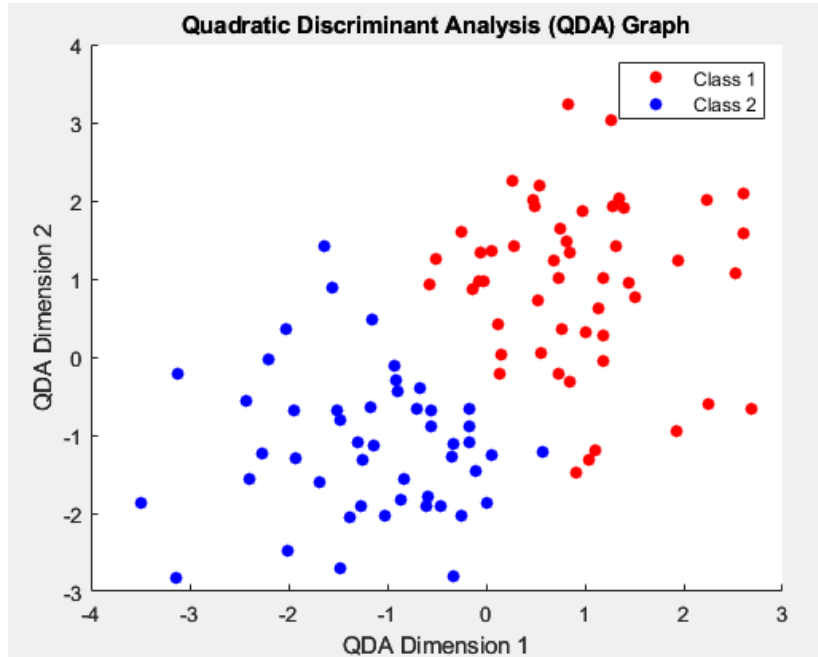
$v = 1, 2, \dots, v$: یمثل عدد المجموعات المدروسة

$\hat{\pi}_j$: تمثل الاحتمالات السابقة المقدرة

$\hat{f}_j(x ; H_j)$: تمثل مقدر دالة الكثافة الاحتمالية .

وتكون دالة التحلیل التمیزی التربيعی كالآتی :

$$x \text{ is allocated to group } j_0 \text{ if } j_0 = \operatorname{argmax}_{j \in \{1, \dots, v\}} \log(\pi_j) - \frac{1}{2} \log |\Sigma_j| - \frac{1}{2} (x - \mu_j)^T \Sigma_j^{-1} (x - \mu_j) \quad \dots(2-9)$$



شكل رقم (2-2) انموذج تصنیف التحلیل التمیزی التریبعی

ان استبدال المعلمات المجهولة بتقديرات العينة هو خطوة ضرورية لاستخدام فعال لقواعد التمييز المعلمية. ومع ذلك ، يجب أن نضع في الاعتبار أن تقديرات العينة غير دقيقة ، ويجب اختيار عينة تمثيلية للبيانات لضمان نتائج دقيقة . [2].

5-2 المقدر الليبي (Kernel Estimator)

المعروف أيضاً باسم تقدير كثافة اللب (Kernel density estimator KDE) ، هو طريقة لامعلمية تستعمل لتقدير دالة كثافة الاحتمال (PDF) لمتغير عشوائي مستمر من مجموعة معينة من نقاط البيانات على عكس الطرق المعلمية ، مثل ملائمة توزيع محدد للبيانات ، لا يفترض تقدير كثافة اللب أي شكل دالي محدد للتوزيع الأساسي اذ هو مقدر يعتمد على دالة وزن (Weight function) تستعمل في تقدير الدالة الامعلمية وهو يعطي اوزان لنقاط البيانات المجاورة في اجراء التقدير. والدوال الليبية (Kernel functions) تكون مستمرة ومحدودة ومتماةلة حول نقطة الصفر وقيمتها حقيقة وتكميلها مساو للواحد، وهي دالة الكثافة الاحتمالية المتماةلة ، ويرمز لها برمز $K(x)$. [14].

الفصل الثاني

يستخدم تقدير اللب على نطاق واسع في تحليل البيانات ، وتصور البيانات ، وفي العديد من التطبيقات الإحصائية ، مثل تقدير الكثافة ، واكتشاف القيم الشاذة في البيانات ، والذي يكون مفيداً بشكل خاص عندما يكون توزيع البيانات الأساسي غير معروف أو عندما لا يتم نمذجة البيانات بسهولة عن طريق توزيع حدودي بسيط. ومع ذلك ، مثل أي طريقة إحصائية ، من الضروري النظر في الاختيار المناسب للنواة وعرض النطاق الترددي لتجنب التمهيد الناقص أو الإفراط في تجسس القدير. يمكن أن تساعد تقنيات التحقق المتبادل في تحديد النطاق الترددي الأمثل لمجموعة بيانات معينة [14]

ان دالة اللب تحقق الشروط الآتية: [2][1]

$$1) K(x) = K(-x) \quad \dots(2-10)$$

$$2) \int_{\mathbb{R}} K(x) dx = 1 \quad \dots(2-11)$$

$$3) \int_{-\infty}^{\infty} x K(x) dx = 0 \quad \dots(2-12)$$

$$4) \int_{-\infty}^{\infty} x^2 K(x) dx = K > 0 \quad \text{for some constant } k. \quad \dots(2-13)$$

$$K(x) \geq 0 \quad \text{for all } x \geq 0 \quad \dots(2-14)$$

الفكرة الأساسية وراء تقدير اللب هي تمثيل كل نقطة بيانات على أنها دالة "نواة" صغيرة تتحور حول تلك النقطة. يتم بعد ذلك تلخيص دالة اللب الفردية لإنتاج تقدير مستمر لـ PDF. ويلعب اختيار دالة kernel ، المعروفة أيضاً باسم دالة التمهيد ، وعرض النطاق الترددي الخاص بها (أو عرض الحزمة) أدواراً مهمة في جودة التقدير. ان صيغة دالة الكثافة اللبية يمكن ان تكتب بالصورة الآتية:[2]

$$\hat{f}(x) = \frac{1}{nh} \sum_{i=1}^n K\left(\frac{x-x_i}{h}\right) \quad \dots(2-15)$$

اذ ان :

الفصل الثاني

الجانب النظري

$\hat{f}(x)$ دالة الكثافة الليبية المقدرة عند النقطة x

n عدد نقاط البيانات

x_i نقطة بيانات فردية

$K(\cdot)$ الدالة الليبية

تضمن دوال اللب الشائعة الاستخدام دالة اللب الكاوسيّة (*Gaussian*) ، ودالة *Epanechnikov* ،

واللبيّة المستطيلة (*Rectangular*) ، وغيرها من الدوال. [1]

عرض الحزمة (Smoothing parameter) h

تحكم معلمة التمهيد h ، في عرض النواة ، وبالتالي مستوى التمهيد. سينتاج عرض الحزمة الأكبر

تقديرًا أكثر سلاسة ولكن يتحمل أن يكون أقل حساسية ، في حين أن عرض الحزمة الأصغر سوف

يلتقط تفاصيل أدق في البيانات ولكن قد يتأثر أكثر بالضوضاء.[1]

تضمن عملية تقدير *Kernel* وضع نواة في كل نقطة بيانات ، وقياس النواة من خلال عرض الحزمة

h وتلخيص المساهمات من جميع النواة للحصول على ملف *PDF* المقدر.[6]

6-2 اختيار الدوال الليبية (Selection of kernel function)

تعد تقديرات الكثافة الليبية (Kernel Density) من دوال الانحدار الأكثر شيوعاً والتي تعد من

تقديرات الكثافة اللامعلمية. والدالة الليبية (Kernel Function) هي دالة الاوزان الموحدة ومهمة جداً

في انتشار الكثافة الاحتمالية ، فمن المعروف ان اسلوب هذه التقديرات تعتمد اساساً على اختيار معلمة

عرض الحزمة (Bandwidth) والتي تسيطر على تمييد التقدير وعلى اختيار دالة *Kernel*.

ان الدوال الليبية الأكثر استخداماً هي دالة *Gaussian* بمتوسط (0) وتباعن (1) . [13]

ان سبب اختيار دالة Gaussian () يعود الى وجود العديد من الخصائص المرغوب بها لأن الكثير من البيانات لها توزيع طبيعي مما يجعل سهولة ملائمتها للتوزيع الطبيعي، مما يجعل اختيار عرض الحزمة اسهل. [13]

7-2 عرض الحزمة (Bandwidth)

تشير معلمة التمهيد او عرض الحزمة او عرض النطاق التردد او سعة القيد او حجم النافذة او معلمة الانتشار إلى المعلمة الحاسمة التي تحكم في عرض دوال kernel الموضوعة في كل نقطة بيانات أثناء عملية التقدير. وان اختيار عرض الحزمة له تأثير كبير على جودة وخصائص مخرجات KDA. وينتج عن عرض الحزمة الأصغر نواة أضيق تكون أكثر موقعية حول نقاط البيانات الفردية. يمكن أن يؤدي ذلك إلى مستوى عالي من التفاصيل في ملف PDF التقديرية ، مما يؤدي إلى التقاط الاختلافات الصغيرة في البيانات. ومع ذلك ، فإنه قد يجعل التقدير أكثر حساسية للضوابط ، مما يؤدي إلى تمثيل غير دقيق.[14] ويرمز لها بالرمز (H) اذا كانت تستعمل لمتعدد المتغيرات ، ويرمز لها (h) اذا كانت تستعمل لأحادي المتغير ، وسبب هذه التسمية جاءت من خلال الاتي :

1) كونها اهم في عامل يؤثر على اداء KDA (Kernel Discriminant Analysis)

2) تؤدي الى توجيه الدالة اللبية (Kernel Function) .

3) تتحكم بانتشار الدالة اللبية (Kernel Function) .

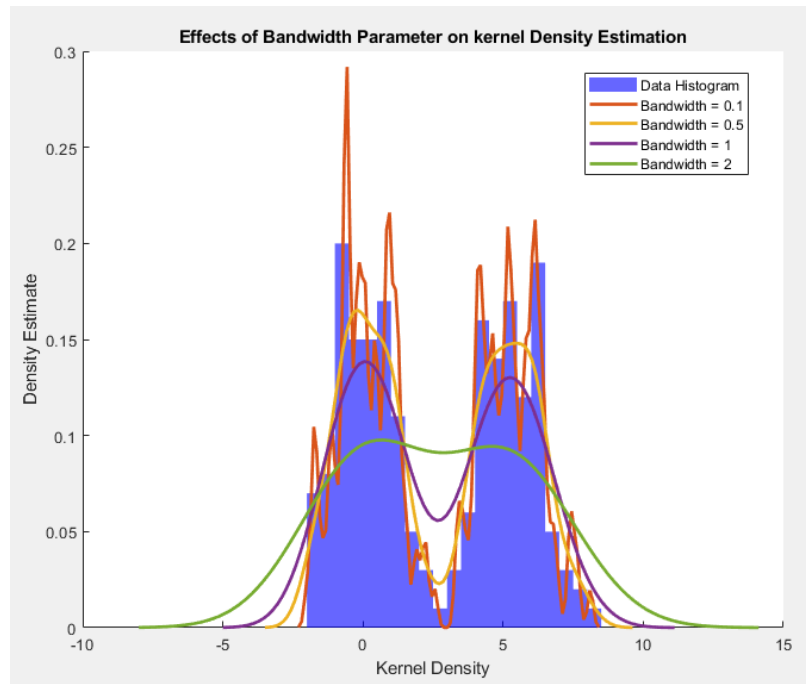
8-2 اختيار معلمة عرض الحزمة (Selection of Bandwidth Parameter)

يعد تقدير دالة الكثافة اللبية من التقنيات المهمة جداً في تمهيد البيانات ، اذ كان تطبيقها ناجحاً لمعظم بيانات احادي المتغير في حين كان تنفيذها وتطويرها محدوداً نسبياً بالنسبة للبيانات متعددة المتغيرات . ان اختيار عرض الحزمة في حالة احادي المتغير يتضمن اختيار معلمة مفردة تسيطر على مقدار من التمهيد ، اما في حالة متعدد المتغيرات فان مصفوفة عرض الحزمة تسيطر على كل من

الفصل الثاني

درجة واتجاه التمهيد ولذلك يكون اختيارها أكثر صعوبة . إذاً من المهم جداً اختيار عرض الحزمة الأمثل (Optimal Smoothing) وليس قيمة صغيرة جداً أو كبيرة ، فإن القيم الصغيرة من مصفوفة عرض الحزمة (H) يؤدي إلى تقديرات شائكة جداً قليلة التمهيد (under smoothing) يؤدي إلى تقديرات شائكة جداً قليلة التمهيد (over smoothing) [4].

عرض الحزمة (Bandwidth) الخاص باللبيبة هو معلمة حرة لها تأثير قوي على التقدير الناتج. يتطلب تجانس الليبية اختيار معلمة عرض الحزمة. هذا الاختيار مهم للغاية ، حيث يمكن أن يؤدي التمهيد أو الإفراط في التجانس إلى تقليل الدقة بشكل كبير. والشكل (2-1) يبين تأثيرات تغيير معلمة عرض الحزمة على تقديرات الكثافة الليبية [4].



شكل رقم (2-3) تأثيرات معلمة عرض الحزمة على تقديرات الكثافة الليبية

ان المعيار الأمثل والأكثر شيوعاً لاختيار عرض الحزمة هو دالة المخاطرة او ما يدعى بمتوسط مربعات الخطأ التكاملـي MISE والذي يعتبر توقع دالة المخاطرة كما يأتي: [20]

الفصل الثاني

الجانب النظري

$$MISE(b) = E[\int (f_b(x) - f(x))^2 dx] \quad \dots (2-16)$$

وفي ظل الافتراضات الضعيفة حول K , f فإن صيغته تكون كالتالي:

$$MISE(b) = AMISE(b) + o\left(\frac{1}{nb} + b^4\right) \quad \dots (2-17)$$

اذ ان o هو الحرف الصغير لـ O ، فان $AMISE(b)$ كالتالي:

$$AMISE(b) = \frac{R(K)}{nb} + \frac{1}{4}m_2(K)^2b^4R(f'') \quad \dots (2-18)$$

اذ ان:

$$R(K) = \int g(x)^2 \quad \dots (2-19)$$

دالة في g

$$m_2(K) = \int x^2 K(x)dx \quad \dots (2-20)$$

f'' المشقة الثانية للدالة

فان اقل $AMISE$ هو حل للمعادلة الآتية:

$$\begin{aligned} \frac{\partial}{\partial b} AMISE &= -\frac{R(K)}{nb^2} + m_2(K)^2b^3R(f'') = 0 \\ b_{AMISE} &= \frac{R(K)^{\frac{1}{5}}}{m_2(K)^{\frac{2}{5}}R(f'')^{\frac{1}{5}}n^{\frac{1}{5}}} \end{aligned} \quad \dots (2-21)$$

لا يمكن استخدام صيغتي $MISE(b)$ و $AMISE$ مباشرةً لأنها تتضمن دالة الكثافة المجهولة f أو مشتقها الثانية " f'' " ، لذلك تم تطوير مجموعة متنوعة من الأساليب التلقائية القائمة على البيانات لتحديد عرض الحزمة . ومن الطرق الأكثر شيوعاً التي استعملت لاختيار عرض الحزمة هي طريقة

التحقق المقاطع الممهد [20] (Smoothed Cross validation method)

يختلف عرض الحزمة باختلاف دالة اللب المختارة اذ لا يمكن النظر إلى عرض الحزمة الأمثل لدالة اللب بنفس الطريقة لدالة أخرى. لهذا السبب ، أجرى العديد من الباحثين دراسات تهدف إلى تحديد تقنيات الحصول على نطاقات التردد التي تقلل من وظائف MSE أو $AMSE$ التي يمكن استخدامها مع دوال اللب المختلفة.[20]

في في عام (1993) اعتبر الباحثان (Wand & Jonse) ان معلمات مصفوفة عرض الحزمة الثنائي المتغيرات تشمل مصفوفة معرفة موجبة قطرية والتي تم استعمالها في هذه الرسالة وبالشكل الآتي : [2]

$$\mathbf{H} = \begin{bmatrix} h_1^2 & 0 \\ 0 & h_2^2 \end{bmatrix} \dots \quad (2-22)$$

9-2 تصنیف المشاهدات (Classification data)

يشير مصطلح تصنیف المشاهدات إلى نوع من البيانات التي تستعمل في مهام التعلم الخاضع للإشراف في تعلم الآلة. في التعلم الخاضع للإشراف ، يتم تزويد الخوارزمية بمجموعة بيانات مصنفة ، حيث تحتوي كل نقطة بيانات على كل من الميزات المدخلة (المتغيرات المستقلة) والعناوين المستهدفة المقابلة (المتغيرات التابعة). الهدف من مهمة التصنیف هو تعلم تعیین من الميزات المدخلة إلى العلامات المستهدفة ، مما يسمح للخوارزمية بتوقع عنوان لبيانات جديدة غير ظاهرة. في تصنیف المشاهدات ، تكون العلامات المستهدفة منفصلة وتمثل فئات أو فئات مختلفة. الهدف هو بناء نموذج يمكنه تصنیف مثيلات جديدة بدقة إلى واحدة من هذه الفئات المحددة مسبقاً[15].

أهم خطوات معالجة بيانات التصنیف:

1. تنظیف البيانات: يجب تنظیف البيانات أولاً لإزالة أي أخطاء أو قيم غير صالحة.
2. تمثیل البيانات: يجب تمثیل البيانات في شکل يمكن أن تفهمه الخوارزمية.
3. اختيار الخوارزمیة: يجب اختيار الخوارزمیة المناسبة لنوع البيانات والمشكلة التي يتم حلها.
4. تدریب الخوارزمیة: يجب تدریب الخوارزمیة على البيانات المصنفة.
5. تقيیم النموذج: يجب تقيیم النموذج الجديد باستخدام مجموعة بيانات اختبار لتحديد أدائه.

في التحلیل التمیزی اللي (KDA) ، الهدف هو إجراء التحلیل التمیزی في مساحة میزات متحولة باستخدام دالة لبیة دون حساب متوجه المیزات المحولة اذ يكون KDA مفیداً بشکل خاص عندما لا تكون البيانات قابلة للفصل خطیاً في مساحة المیزات الأصلیة . ان هدف التحلیل التمیزی

الفصل الثاني

الخطي القياسي (LDA) إلى إيجاد تركيبة خطية من الميزات تفصل أفضل بين الفئات بدلاً من إسقاط البيانات على مساحة أقل أبعاداً باستخدام تركيبات خطية للميزات ، فإنه يستخدم دالة لبية لتحويل البيانات ضمنياً إلى مساحة أعلى الأبعاد حيث يمكن أن تكون قابلة للفصل خطياً. لذلك يتم حساب عدد التصنيفات الصحيحة ومعدل أخطاء التصنيف (Misclassifications rate) والنتائج يمكن عرضها في جدول التصنيف او مصفوفة التداخل (Confusion Matrix). والجدول (2-1) يوضح عملية تصنيف مشاهدات لمجموعتين (G_1) و (G_2): [15]

جدول رقم (2-1) نتائج التصنيف (Classification) لمجموعتين

المجموعة الفعلية Actual Group	عدد المشاهدات Number of observation	المجموعة المتوقعة Predicted Group	
		1	2
1	n_1	A	B
2	n_2	C	D

اذ ان (n_1) يمثل عدد المشاهدات في المجموعة الأولى (G_1) و (A) يمثل التصنيف الصحيح في المجموعة الأولى (G_1) و (B) يمثل خطأ التصنيف في المجموعة الاولى (G_1) ، وان ()

B
والشيء نفسه بالنسبة الى (n_2) تمثل عدد المشاهدات في المجموعة الثانية (G_2) و (C) يمثل خطأ التصنيف في المجموعة الثانية (G_2) و (D) يمثل التصنيف الصحيح في المجموعة الثانية (G_2) وان

[2] . فإن معدل خطأ التصنيف (Misclassification Rate) يكتب كالتالي: ($n_2 = C + D$)

$$\widehat{MR} = \frac{n_{12}+n_{21}}{n_{11}+n_{12}+n_{21}+n_{22}} \dots (2-23)$$

وان معدل التصنيف الصحيح الظاهري (Apparent Correct Classification) يكتب كالتالي :

$$\widehat{ACC} = \frac{n_{11} + n_{22}}{n_1 + n_2} \quad \dots (2-24)$$

ويمكن حساب معدل خطأ التصنيف الظاهري بالشكل الآتي :

$$MR = 1 - \widehat{ACC} \quad \dots (2-25)$$

وباستعمال الاحتمالات السابقة ($\widehat{\pi}_i$) و دوال تقدير الكثافة الليبية (KDE) لمجتمعين ($H_2 ; \cdot ; \cdot ; \hat{f}$) و

$\hat{f}(H_1 ; \cdot ; \cdot ; \cdot)$ فأن قاعدة التصنيف الأمثل (Optimal Classification Rate) هي ان تقلل من معدل

خطأ التصنيف وبالشكل الآتي : [6]

تعيين المشاهدة (i) الى المجموعة الأولى اذا كان:

$$\widehat{\pi}_1 \hat{f}(H_1) > \widehat{\pi}_2 \hat{f}(H_2) \quad \dots (2-26)$$

والحالات الأخرى تعيين المشاهدة (i) الى المجموعة الثانية (G_2) .

هناك نقطتين مهمتين يجب ان تأخذ بنظر الاعتبار في حالة التحليل التمييزي باستعمال تقديرات الكثافة

: الليبية (KDE)

1) اختيار عرض الحزمة (H) يجب ان تعتمد على مشاهدات معينة (محددة) لتصنيفها بالإضافة الى اعتمادها على كثافة المجتمع .

2) في مشكلة تمييز تعدد الطبقات عوضاً عن استعمال عرض حزمة واحدة (ثابتة) لجميع تقديرات الكثافة للمجتمع يكون من المفيد إستعمال عرض الحزمة متغيرة لتقدير الكثافة المصنفة. [2]

10-2 معدل خطأ التصنيف (Misclassification rate)

هذا المعدل هو النسبة المئوية لل نقاط التي يتم تعيينها إلى المجموعة غير الصحيحة بناءً على قاعدة تمييز. ويُعرف باسم معدل الخطأ في التصنيف ، وهو مقياس تقييم شائع يستخدم لتقييم أداء نموذج التصنيف. يمثل نسبة الحالات المصنفة خطأً إلى إجمالي عدد الحالات في مجموعة البيانات.

الفصل الثاني

الجانب النظري

أشار الباحثان (Hall and Wand) في عام (1988) ان ايجاد افضل عرض الحزمة بشكل مباشر تكون عن طريق معدل خطأ التصنيف كالاتي : [15][16]

$$\begin{aligned} 1 - MR &= Pr(Y \text{ is classified correctly}) \\ &= E_Y[1\{Y \text{ is classified correctly}\}] \\ &= E_X[E_Y[1\{Y \text{ is classified correctly}\}] | X_1, X_2, \dots, X_v] \\ &= 1 - \frac{TP + TN}{TP + FP + TN + FN} \end{aligned} \quad \dots (2-27)$$

اذ ان :

E_Y التوقع بالنسبة لـ Y او $\sum_{j=1}^v \pi_j f_j$

E_X التوقع بالنسبة لـ X_1, X_2, \dots, X_v او $\pi_1 f_1, \pi_2 f_2, \dots, \pi_v f_v$

. من المتوقع أن تكون الملاحظة إيجابية وهي في الواقع إيجابية. (True Positive) TP

. من المتوقع أن تكون الملاحظة سلبية وهي في الواقع سلبية. (True Negative) TN

. من المتوقع أن تكون الملاحظة إيجابية وهي سلبية في الواقع. (False Positive) FP

. من المتوقع أن تكون الملاحظة سلبية وهي في الواقع إيجابية. (False Positive) FN

ان استعمال نهج اعلاه يعتمد على تقديرات كثافة التوزيعات الفردية والذي له ثلاثة مزايا:

- ان التقديرات الدقيقة لدوال الكثافة الفردية مفيدة في حد ذاتها. يمكن استخدامها لإنشاء مخططات كثافة الاحتمالية التي توفر معلومات مفيدة حول توزيع البيانات.
- يمكن استخدام تقديرات الكثافة الدقيقة في مشكلات التمييز الأخرى الأكثر تعقيداً والتي تبحث في مقاييس أخرى غير معدل الخطأ.
- إن التحسين المباشر فيما يتعلق بمعدل الخطأ يطرح العديد من العقبات الرياضية الصعبة. من الصعب إيجاد تقديرات دقيقة لدوال الكثافة الفردية التي تصغر معدل الخطأ [15].

الفصل الثاني

وان هذا النهج على الرغم من تتمتعه بالعديد من المزايا ، إلا أنه لا يخلو من العيوب. أحد العيوب هو أنه يتطلب تقديرات دقيقة لدوال الكثافة الفردية. قد يكون هذا صعباً إذا كانت البيانات غير منتظمة أو لاتوزيع طبيعيا. إضافة إلى أن هذا النهج قد يكون بطيئاً للغاية بالنسبة للمجموعات الكبيرة من البيانات [15][16].

2-11 تقدير الكثافة اللبية (Kernel Density Estimation)

وهي طريقة شائعة لتقدير دالة الكثافة اللامعلمية ولها تطبيق معروف في التحليل التميزي البابي في مشكلة التصنيف L (J) اصناف.

إذا كانت لدينا عينة تدريب كالتالي:

$$S = \{(x_i, c_i), x_i \in R^d, c_i \in \{1, 2, \dots, J\}, i = 1, 2, \dots, n\} \quad \dots (2-28)$$

L من المشاهدات

فإن تقدير الكثافة البابية يكون عن طريق الصيغة الآتية :

$$\hat{f}_{jb} = \frac{1}{n_j b^d} \sum_{i:c_i=j}^n K\left\{\frac{(x-x_i)}{b}\right\} \quad \dots (2-29)$$

اذ ان:

\hat{f}_{jb} تقدير الكثافة البابية

n_j عدد المشاهدات في الصنف j بحيث ان $n = \sum n_j$

K دلة الكثافة بالبعد d متتماثلة حول الصفر

b معلمة التمهيد

ان تقدير الكثافة البابي يمكن ان يستعمل لانشاء قاعدة التمييز البابية (Kernel Discremenan)

الآتية: (Rule

$$\text{KDR: is allocated to group } j_0 \text{ if } j_0 = \operatorname{argmax}_{j \in \{1, 2, \dots, v\}} \hat{f}_j(x_i, B_i) \quad \dots (2-30)$$

$\hat{f}_j(x_i, B_i)$ تقدير الكثافة البابية المقابلة للمتجه j

$\hat{\pi}_j$ الاحتمال السابق للمتجه j

إذا كان التوزيع الأولي غير معروف فإنه عادة ما يتم تقديره باستعمال عينه التدريب عن طريق الصيغة الآتية:

$$\hat{\pi}_{j \in \{1, 2, \dots, v\}} = \frac{n_j}{n} ; \quad j = 1, 2, \dots, J \quad \dots (2-31)$$

الفصل الثاني

الجانب النظري

ان اختيار عرض حزمة المناسب امر بالغ الأهمية من ناحية يمكن محاولة العثور على عرض حزمة امثل لتقديرات الكثافة الليبية المثلث، ومن ناحية أخرى يمكن العثور على عرض حزمة امثل يعمل بشكل مباشر على تحسين معدل التصنيف الخاطئ.

12-2 التحليل التميزي اللامعملي (Non-Parametric Discriminant Analysis)

التحليل التميزي اللامعملي (NDA) هو نهج للتصنيف لا يقدم افتراضات واضحة حول التوزيع الأساسي للبيانات كما في طرائق التحليل التميزي التقليدية، مثل التحليل التميزي الخطى (LDA) أو التحليل التميزي التربيعي (QDA)، غالباً ما تفترض أن البيانات تتبع توزيعاً طبيعياً متعدد المتغيرات ، في المقابل، فإن الأساليب اللامعلمية تضع افتراضات أقل حول توزيع البيانات ويمكن أن تكون أكثر مرونة في التقاط الأنماط المعقدة لذلك تعد الطرائق اللامعلمية مفيدة بشكل خاص عندما لا يتم استيفاء افتراضات الطرائق المعلمية أو عند التقييم عامل مع البيانات التي لا تتبع توزيعاً محدداً.

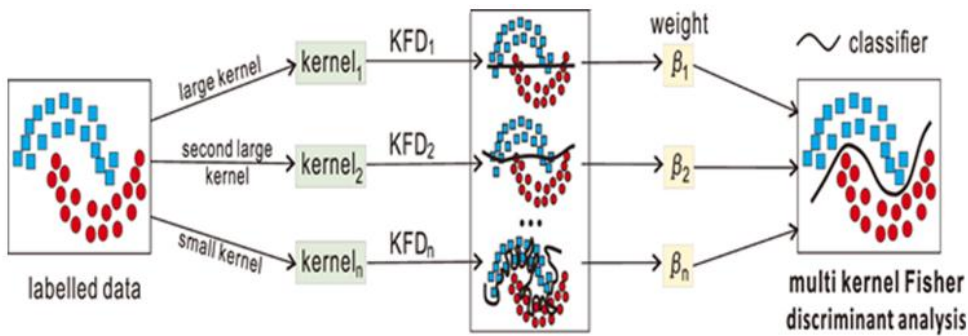
تتضمن بعض الطرق اللامعلمية الشائعة الاستعمال للتحليل التميزي ما يلي:

12-1 التحليل التميزي الليبي (Kernel Discriminant Analysis)

ان التحليل التمييز الليبي ((KDA) Kernel discriminant analysis) تقنية قوية لمهام التصنيف ، خاصة عند التقييم عامل مع هيكل البيانات المعقدة وغير الخطية. ومع ذلك ، فإنه يتطلب التحديد الدقيق لدالة اللب (kernel function) وضبط المعلمة لتحقيق الأداء الأمثل. بالإضافة إلى ذلك ، يمكن أن تكون KDA مكلفة من الناحية الحسابية بالنسبة لمجموعات البيانات الكبيرة ، لأنها تتضمن حساب مصفوفة النواة والقيمة الذاتية. إذ يعد دالة تقدير الكثافة الليبية اسلوب مهم في تحليل البيانات التميزية، اذ ان استعمال تقديرات الكثافة الليبية في التحليل التميزي معروف تماماً من قبل الباحثين للتعرف على الانماط الاحصائية و يتم الاعتماد على تقديرات الكثافة الليبية لبناء طريقة التصنيف اللامعلمية ، و تسمى بالتحليل التميزي الليبي (KDA).

الفكرة الأساسية وراء (KDA) هي ايجاد فضاء فرعي مميز يزيد من التباين بين الفئة ويقلل من التباين داخل الفئة في مساحة الميزة ذات الأبعاد الأعلى الناتجة عن دالة اللب. فبذلك يمكن لـ (KDA) التقييم عامل بفعالية مع البيانات غير القابلة للفصل الخطى وتحسين إمكانية فصل الفئات المختلفة.

والشكل (2-2) يوضح مبدأ (KDA) :



الشكل (2-4) توضيح التحليل التمييزي الليبي [2]

ان اداء تقديرات الكثافة الليبية تعتمد بشكل كبير على الاختيار المناسب لحجم التمهيد وهي معلمة مصفوفة عرض الحزمة (H)، اذ ان القيمة المثلثى لعرض الحزمة هي التي تجعل متوسط مربع الخطأ (MR Sequare Erorr) اقل ما يمكن ، ومن ناحية اخرى الطرائق الاساسية لأختيار معلمة مصفوفة عرض الحزمة (H) يكون فيها التركيز الرئيسي على تقليل نسبة خطأ التصنيف (\widehat{MR}) الى جانب ذلك فأن مشكلة التصنيف ستكون اكثراً اهمية ووضوحاً بان تكون معلمة عرض الحزمة مختلفة عند المقارنة مع مختلف دوال الكثافة المصنفة (اي وجود عدة مجموعات وكل مجموعة توجد تقدير كثافة، وبعد اجراء التصنيف نقوم بمقارنة بين دوال الكثافة تسمى دوال الكثافة المصنفة) واختياراتها بشكل امثل لتقدير الكثافة تعتمد بشكل كبير على الكثافة المصنفة (f_j) و الاحتمال السابق لها ($\hat{\pi}_j$) ولذلك في مشكلة تعدد الطبقات (استعمال عدة متغيرات) . وعليه فان حسن اختيار معلمة عرض الحزمة ينبغي ايضاً ان يعتمد على المشاهدة الخاصة لتصنيفها ونتيجة لذلك وعوضاً عن التركيز على عرض حزمة مثل واحد لتقدير الكثافة يكون اكثراً فائدة ، اذاً تم الاعتماد على نتائج المستويات المختلفة من التمهيد لتقدير دالة الكثافة الليبية .

لنفرض انه لدينا مجموعات مؤلفة من N من النقاط لكل منها متوجه ميزات بـ n بعد أي أن:

$$X = \{x_1, x_2, \dots, x_n\}$$

اذ ان $X_j \in \mathbb{R}^d$ وان $\{y_1, y_2, \dots, y_n\} \in \{1, 2, \dots, c\}$... والتي تمثل الاصناف المقابلة اذ ان تمثل انتماء الصفة لكل مجموعة نقاط i^{th} .

اختيار دالة لبية معينة ($k(x_i, x_j)$) والتي تعبر عن مقياس التشابه بين نقاط البيانات ' xx' في فضاء الميزة الاصلي ومنه الدوال الشائعة هي الدالة الغاوسيّة (*Gaussian*) والدالة متعددة الحدود (*Sigmoid*) والدالة السينية (*Multinomial*) ... الخ .

ومن ثم نحسب المصفوفة اللبية K كالتالي:

$$K(i, j) = k(x_i, x_j)$$

وهي مقياس التشابه بين النقط x_i, x_j

ومن ثم نقوم بجعل مصفوفة اللب K معيارية للتأكد من خاصية *Kernel Trick property* وكالآتي:

$$H = I_N - \left(\frac{1}{N}\right) * 1_N * 1_N^T \quad \dots \quad (2-32)$$

اذ ان:

I_N مصفوفة الوحدة بالبعد N

1_N متوجه عمودي بالوحدات بالبعد N

فإن مصفوفة اللب المركزية تحسب كالتالي:

$$KC = HKH' \quad \dots \quad (2-33)$$

الفصل الثاني

الجانب النظري

اذ ان KC تمثل القيم الذاتية (*Eigen Values*) على مصفوفة اللب المركزية للحصول على القيم الذاتية (λ) والتجهيزات الذاتية المقابلة لها (a) ونقوم بترتيبها تنازلياً.

بعد ذلك نقوم باستخراج الميزات بتحديد التجهيزات الذاتية k الأعلى المقابلة لأكبر توجه مميز لتشكيل فضاء فرعي جديد مخفض الأبعاد. وتمثل هذه التجهيزات الذاتية $a_k \in \mathbb{R}^N$ ، a_1, a_2, \dots, a_k الاتجاهات في مساحة الميزة ذات الابعاد الاعلى التي تفصل بين الفئات بشكل افضل.

ثم نقوم بعملية التصنيف (*Classification*) لتصنيف نقاط البيانات الجديدة باسقاطها على مساحة الميزة ذات الابعاد المخفضة باستعمال التجهيزات الذاتية (*Eigen Vectors*) المحددة . ثم نطبق خوارزمية تصنيف متوجه آلات الدعم (*Support Vector Machine*) على مساحة الميزة المخفض لعمل تنبؤات والمقصود بالتنبؤات اي ان تتبؤ الاسلوب التمييزي بالمشاهدة الى اي مجموعة تنتمي.

تتمثل الخطوة الرئيسية في الانموذج الرياضي في استخدام دالة اللب للعمل ضمناً في مساحة ميزة ذات أبعاد أعلى دون حساب متجهات الميزات المحولة وهذا يسمح له *KDA* بالتفادي عامل مع البيانات غير الخطية القابلة للفصل وتحقيق أداء أفضل مقارنة بـ *LDA* في مثل هذه الحالات. يعد اختيار دالة اللب وعدد التجهيزات الذاتية العليا (k) معلمات تشغيلية أساسية تؤثر على أداء نموذج *KDA*. غالباً ما يتم استخدام الضبط الصحيح والتحقق من الصحة لتحديد القيمة المثلثى لهذه المعلمات.[33]

2-12-2 التحليل التمييزي الليبي الحصين (Robust Kernel Discriminant Analysis)

يعد التحليل التمييزي الليبي الحصين (RKDA) امتداداً للتحليل التمييزي الليبي (KDA) الذي يهدف إلى تحسين أداء وحصانة KDA ، خاصة عند التقى عامل مع البيانات التي بها ضوضاء أو التالفة. تتمثل الفكرة الرئيسية وراء RKDA في تقديم

الفصل الثاني

الحسانة لخطوة تحويل البيانات التي تقوم بها KDA ، مما يسمح لها بالتنفي عامل مع القيم الشاذة والعينات الضوضائية بشكل أكثر فعالية.[25][15]

يتضمن معيار KDA حساب مصفوفات الانتشار (داخل الطبقة وبين الطبقة) في مساحة النواة ، متبعاً بحل مشكلة القيمة الذاتية المعممة للحصول على اتجاهات الإسقاط. ومع ذلك ، عند وجود قيم متطرفة أو عينات ضوضائية في البيانات ، يمكن أن تتأثر مصفوفات التباعد بهذه النقاط الشاذة ، مما يؤدي إلى اتجاهات إسقاط دون المستوى الأمثل.[9]

في RKDA ، يتم استخدام متغير قوي لتقدير مصفوفة الانتشار لتقليل تأثير القيم الشاذة. أحد الأساليب الشائعة هو استخدام تقدير مصفوفة التغير الحصين ، مثل محدد التغير الأدنى (Minimum Covariance Determinant) أو مقدر هوبير ، لحساب مصفوفات التباعد. هذه التقديرات الحصينة أقل حساسية لقيم الشاذة ويمكن أن تنتج اتجاهات إسقاط أكثر موثوقية.

تشابه الخطوات التي عامنة للتخليل التميزي الحصين مع KDA القياسي ، مع التعديل فقط في حساب مصفوفة التباعد وكالآتي:

1. ادخال البيانات (Data Input) :

X: البيانات الأصلية مع العينات الموجودة في الصفوف والمعلمات في الأعمدة.

Y: تسميات الفئة المقابلة لكل عينة في X

2. دالة اللب (Kernel function) :

يتم اختيار دالة kernel مناسبة (على سبيل المثال ، Gaussian ، متعدد الحدود) لقياس التشابه بين عينتين في مساحة الميزة الأصلية.

3. مصفوفة اللب (Kernel Matrix) :

يتم حساب مصفوفة اللب ، حيث تمثل $K_{(i,j)}$ التشابه بين العينات (i) و (j) .

4. توسيط البيانات في مساحة اللب:

تحسب مصفوفة التمرکز H ، والتي تضمن أن البيانات في مساحة النواة لها متوسط صفر.

5. مصفوفات التشتت الحصينة:

نستخدم تقدير مصفوفة التغير الحصينة (Huber) لحساب مصفوفة التشتت داخل الفئة Sw

والمصفوفة المبعثرة بين الفئات Sb في مساحة النواة باستخدام البيانات المركزية.

الفصل الثاني

الجانب النظري

6. حل مشكلة القيمة الذاتية العمومية:

نبحث عن القيم الذاتية والمتوجهات الذاتية لمسألة القيمة الذاتية العمومية

$$S_b * \alpha = \lambda * S_w * \alpha.$$

7. حدد أعلى المتوجهات الذاتية:

يتم اختيار أعلى متوجهات ذاتية λ المطابقة لأكبر قيمة ذاتية λ لتشكيل مصفوفة الإسقاط.

8. مشروع البيانات:

نقوم بإسقاط البيانات الأصلية X في مساحة الميزة الجديدة باستخدام مصفوفة الإسقاط

$$W_{rkda}$$

9. التصنيف:

تطبيق مصنف (على سبيل المثال ، دعم آلة المتوجه k-Nearest Neighbours) على البيانات المتوقعة من أجل التصنيف.

من خلال دمج تقدير مصفوفة التبعثر الحصينة ، يمكن لـ RKDA معالجة البيانات التي بها الضوضاء أو الملوثة بشكل أكثر فعالية من طريقة KDA القياسية . [9][15]

13-2 طريقة التحقق المتقاطع الممهد (Smoothed Cross –Validation)

تم تنفيذ طريقة التتحقق المتقاطع التي اقترحها Stone (2017) بواسطة Nejad, Jaksa،

البيانات إلى ثلاثة مجموعات: التدريب والاختبار والتحقق من الصحة. تستعمل مجموعة التدريب لضبط الأوزان ، بينما تستعمل مجموعة الاختبار للتحقق من أداء الانموذج في مراحل مختلفة من التدريب ولتحديد وقت إيقاف التدريب لتجنب فرط الملائمة. يتم استخدام مجموعة التتحقق من الصحة لتقدير أداء الشبكة المدربة في البيئة المنتشرة. [27]

تهدف طرق التتحقق المتقاطع إلى توفير تقديرات حصينة لأداء الانموذج من خلال تقسيم البيانات

بطرائق مختلفة لتدريب الانموذج والتحقق من صحته. وهي طريقة جديدة للتحقق من الصحة (Validity) وهي تقنية إعادة أخذ العينات المستعملة لتقدير أداء الانموذج التنبئي والتخفيف من

مخاطر الملائمة المفرطة (Overfitting). يتضمن تقسيم مجموعة البيانات إلى مجموعات فرعية متعددة ، وتدريب النموذج على بعض هذه المجموعات الفرعية (مجموعات التدريب) ، ثم تقييم أدائها

الفصل الثاني

الجانب النظري

على المجموعة الفرعية المتبقية (مجموعة التحقق من الصحة). تتكرر العملية عدة مرات للحصول على متوسط مقياس الأداء.

Hall , Marron and SCV) من قبل الباحثون SCV في عام (1992) مع محمد تجرببي افضل g المستقل عن h. اما بعد ذلك قدم محمد Park لمتعدد المتغيرات من قبل الباحثون (Sain , Baggerly and Scott (1994) . عمل بها في البداية من صيغة معدله بشكل قليل من طريقة LSCV في المعادلة (2-38) المعروفة باسم صيغة diagonal Leave – in –

$$Lscv(H) = n^{-1} (4\pi)^{-d/2} |H|^{-1/2} + n^{-2} \sum_{i=1}^n \sum_{j=1}^n (K_{2H} - 2K_H + K_0) (X_i - X_j)$$

...(2-34)

اذ ان :

$K_0 \rightarrow$ Dirac delta function

لتشكيل (SCV) قبل تمديد فروقات البيانات ($X_i - X_j$) بواسطة K_{2G} ، اي استبدال ($X_i - X_j$) باللتوااء مع ($K_{2G}(X_i - X_j)$)

$$SCV(H) = n^{-1} (4\pi)^{-d/2} |H|^{-1/2} + n^{-2} \sum_{i=1}^n \sum_{j=1}^n (K_{2H+2G} - 2K_{H+2G} + K_{2G})(X_i - X_j)$$

...(2-35)

اذ ان :

G: تمثل مصفوفة عرض الحزمة التجربى

الفصل الثالث

الجانب التجريبي

تمهيد (Preface)

تم في هذا الفصل استعمال تجارب محاكاة مونت-كارلو لغرض بيان افضلية اسالسيب التحليل التميزي المستعملة في الجانبي النظري والمقارنة فيما بينها باستعمال معيار معدل خطأ التصنيف عند دوال كثافة لها توزيع طبيعي ودوال كثافة منحرفة عن التوزيع الطبيعي.

1-3 مفهوم المحاكاة : (Simulation Concept)

بعد التطور الكبير الذي حصل في مجال الحاسوبات الإلكترونية أصبح استخدام أسلوب المحاكاة كطريقة لحل ودراسة لكثير من المشكلات الصعبة والمعقدة والتي لا تكون هنالك إمكانية لتحقيقها في المجال العملي ولاسيما في حالة عدم توافر البيانات الكافية عن الظاهرة المدروسة وصعوبة الحصول على تلك البيانات فأنه يتم اللجوء إلى أسلوب المحاكاة مما يوفر كثيراً من الجهد والوقت والمال، وباستخدام الحاسوبات الإلكترونية يتم توليد البيانات المطلوبة نظرياً من دون الحصول عليها عملياً" وذلك من دون الإخلال بدقة النتائج المطلوبة. [28]

وبصورة في عامة (فأن أسلوب المحاكاة يتلخص بكونه أسلوباً يتم من خلاله إيجاد إنموذج جديد مماثل إلى الإنموذج الحقيقي من دون محاولة الحصول على الإنموذج الحقيقي).

ويمكن القول بأن عملية المحاكاة هي أسلوب رقمي لإنجاز تجارب على الحاسوبات الإلكترونية والتي تتضمن أنواعاً معينة من العمليات المنطقية والرياضية الضرورية لوصف سلوك وهيكلية النظام الحقيقي المعقد خلال مدة زمنية معينة. [29]

وتوجد طرائق مختلفة للمحاكاة هي الطريقة التناظرية (Analoge Procedure) والطريقة المختلطة (Mixed procedure) وطريقة مونت-كارلو (Monte-carlo procedure) ، وتعد

طريقة مونت-كارلو من أهم هذه الطرائق وأكثرها شيوعاً و تستعمل لتوليد مشاهدات لمعظم التوزيعات الاحتمالية الكثيرة الاستخدام والتي تمتلك دالة كثافة احتمالية معروفة، ويتألخص هذا الأسلوب بكونه يتم بواسطة أساليب العينات التي تؤخذ من مجتمع نظري يحاكي المجتمع الحقيقي حيث يتم صياغة الارقام العشوائية. و تمتاز عملية المحاكاة بالمرونة اذ تعطي القدرة على التجربة والاختبار من خلال تكرار العملية لمرات عديدة بتفسير المدخلات الخاصة بعمليات التقدير في كل مرة وكذلك تأتي أهمية عملية المحاكاة في العشوائية ، اذ ان سلسلة الارقام العشوائية التي تستعمل في التجربة الاولى تكون مستقلة عن سلسلة الارقام العشوائية في التجربة الثانية وهكذا.[30]

(Steps of experiments Simulation) 2-3 خطوات تجارب المحاكاة

تمت عملية بناء انموذج محاكاة لدراسة سلوك طرائق التحليل التمييزي المدروس باعتماد معايير معينة في تقدير النماذج المقترضة وكما الخطوات الآتية:
اولاً: تحديد احجام العينات :

تعد هذه الخطوة من الخطوات المهمة التي يعتمد عليها لتنفيذ باقي خطوات تجارب المحاكاة والتي تتضمن الآتي:

(1) اختيار احجام عينات التدريب (Trianning Sample size)

تم تحديد احجام عينات التدريب الافتراضية لغرض اجراء طرائق التحليل التمييزي المستعملة في هذه الرسالة والتي هي:

$$n=100, 500, 1000, 5000$$

(2) اختيار احجام عينات الاختبار (Test Sample size)

تم تحديد حجم عينة الاختبار الافتراضية لغرض اجراء طرائق التحليل التمييزي المستعملة في هذه الرسالة والتي هي:

$$k=1000, 2000, 3000, 5000$$

ثانياً : توليد العينات (Samples Generating)

تم في هذه الرسالة استعمال محوتين لغرض اختبار طرائق التمييزي اذ تم توليد بيانات المجموعة الاولى والمجموعة الثانية بإستعمال طريقة (Box-Muller) بالإضافة إلى الدالة المكتبة (Randn) في برنامج ماتلاب وكما يأتي :

حيث تستعمل لتوليد متغير عشوائي ثنائي يتبع التوزيع الطبيعي القياسي $N_2(0, 1)$ وتعتمد طريقة (Box – Muller) على الأسلوب الآتي:

1. توليد عددين عشوائيين مستقلين U_1, U_2 بحيث يتبعان التوزيع المنتظم للفترة $(0, 1)$ حيث يتم توليد متوجه معين من هذين العددين بحجم العينة المطلوبة (n) أي إن:

$$U_i = \text{rand}(1, n) \quad \dots (3-1)$$

2. يمكن تحويل هذين العددين إلى التوزيع الطبيعي القياسي وفقاً لما يأتي:

$$X_1 = (-2 \ln(U_1))^{1/2} \cos(2\pi U_2) \quad \dots (3-2)$$

$$X_2 = (-2 \ln(U_1))^{1/2} \sin(2\pi U_2) \quad \dots (3-3)$$

حيث أن X_1, X_2 متغيران عشوائيان طبيعيان مستقلان وبذلك فإن الدالة المشتركة لهما هي:

$$f(x_1, x_2) = \frac{1}{2\pi} e^{-\frac{1}{2}(x_1^2 + x_2^2)} \quad \dots (3-4)$$

3. تم توليد عدد من المتغيرات التي لها توزيع طبيعي قياسي متعدد متغيرات في كل مجموعة باستعمال الخوارزمية الآتية في ماتلاب:

(1) تحديد حجم العينة (n) في كل متغير كالآتي:

`numSamples = n;`

(2) تحديد عدد المتغيرات في كل مجموعة وكالآتي:

`numVariables = K; % Change this to the desired number of variables`

(3) تحديد متوجه المتوسطات الصفرى بعدد المتغيرات المطلوبة وكالآتي:

`mu = zeros(1, numVariables);`

(4) تحديد مصفوفة التبيان-البيان المشترك للتوزيع الطبيعي القياسي متعدد المتغيرات وكالآتي:

`covMatrix = eye(numVariables);`

(5) توليد المتغيرات العشوائية القياسية الطبيعية المتعددة في كل مجموعة كالآتي:

X = mvnrnd(mu, covMatrix, numSamples);

ثالثاً: اختيار مصفوفة عرض الحزمة (Bandwidth Selection)

في هذه الرسالة تم اختيار مصفوفة عرض الحزمة القطرية باستعمال طريقة العبور الشرعي

رابعاً : اختيار دالة الكثافة اللبية الهدف (Target Kernel Density Selection)

في هذه الرسالة تم اختيار اربعة دوال كثافة لبية لتحقيق صيغة التمييز الالبي البيزية مع توزيعاتها الاولية الافتراضية بحيث تكون بعض من هذه الدوال الهدف تبتعد عن التوزيع الطبيعي لغرض انتهاك افتراض التوزيع الطبيعي لاختبار طرائق التقدير عند هذه الدوال الهدف وكالاتي:[22]

(1) دالة الهدف الكاوسيّة D : والتي تكون كالآتي:

$$D = \begin{cases} \pi_1 = \frac{1}{2} f_1 \sim N_2 \left(\begin{bmatrix} 1 \\ -1 \end{bmatrix}, \begin{bmatrix} \frac{4}{9} & \frac{14}{45} \\ \frac{14}{45} & \frac{4}{9} \end{bmatrix} \right) \\ \pi_2 = \frac{1}{2} f_2 \sim N_2 \left(\begin{bmatrix} -1 \\ 1 \end{bmatrix}, \begin{bmatrix} \frac{4}{9} & 0 \\ 0 & \frac{4}{9} \end{bmatrix} \right) \end{cases} \quad \dots \dots (3-5)$$

(2) دالة الهدف الكاوسيّة E: والتي تكون كالآتي:

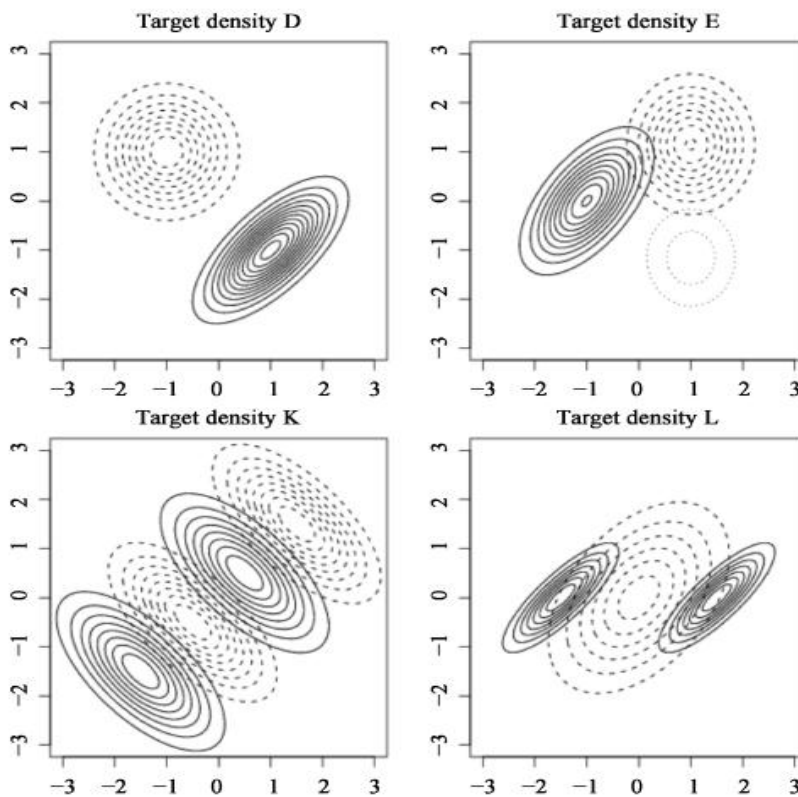
$$E = \begin{cases} \pi_1 = \frac{3}{7} f_1 \sim N_2 \left(\begin{bmatrix} -1 \\ 0 \end{bmatrix}, \begin{bmatrix} \frac{9}{25} & \frac{63}{250} \\ \frac{63}{250} & \frac{49}{100} \end{bmatrix} \right) \\ \pi_2 = \frac{3}{7} f_2 \sim N_2 \left(\begin{bmatrix} 1 \\ \frac{2}{\sqrt{3}} \end{bmatrix}, \begin{bmatrix} \frac{9}{25} & 0 \\ 0 & \frac{49}{100} \end{bmatrix} \right) \end{cases} \quad \dots \dots (3-6)$$

(3) دالة الهدف K والتي تكون كالآتي:

$$K = \begin{cases} \pi_1 = \frac{1}{2} f_1 \sim N_2 \left(\begin{bmatrix} -\frac{3}{2} \\ -\frac{3}{2} \end{bmatrix}, \begin{bmatrix} \frac{4}{5} & -\frac{1}{2} \\ -\frac{1}{2} & \frac{4}{5} \end{bmatrix} + \frac{1}{2} N_2 \begin{bmatrix} \frac{1}{2} \\ \frac{1}{2} \end{bmatrix}, \begin{bmatrix} \frac{4}{5} & -\frac{1}{2} \\ -\frac{1}{2} & \frac{4}{5} \end{bmatrix} \right) \\ \pi_1 = \frac{1}{2} f_2 \sim N_2 \left(\begin{bmatrix} \frac{3}{2} \\ \frac{3}{2} \end{bmatrix}, \begin{bmatrix} \frac{4}{5} & \frac{1}{2} \\ \frac{1}{2} & \frac{4}{5} \end{bmatrix} + \frac{1}{2} N_2 \begin{bmatrix} -\frac{1}{2} \\ -\frac{1}{2} \end{bmatrix}, \begin{bmatrix} \frac{4}{5} & -\frac{1}{2} \\ -\frac{1}{2} & \frac{4}{5} \end{bmatrix} \right) \end{cases} \quad \dots (3-7)$$

دالة الهدف L والتي تكون كالتالي:

$$L = \begin{cases} \pi_1 = \frac{1}{3} f_1 \sim \frac{1}{2} N_2 \left(\begin{bmatrix} -\frac{3}{2} \\ 0 \end{bmatrix}, \begin{bmatrix} \frac{3}{10} & \frac{1}{4} \\ \frac{1}{4} & \frac{3}{10} \end{bmatrix} \right) + \frac{1}{2} N_2 \left(\begin{bmatrix} \frac{3}{2} \\ 0 \end{bmatrix}, \begin{bmatrix} \frac{3}{10} & \frac{1}{4} \\ \frac{1}{4} & \frac{3}{10} \end{bmatrix} \right) \\ \pi_2 = \frac{2}{3} f_2 \sim N_2 \left(\begin{bmatrix} 0 \\ 0 \end{bmatrix}, \begin{bmatrix} \frac{4}{5} & \frac{2}{5} \\ \frac{2}{5} & 1 \end{bmatrix} \right) \end{cases} \quad \dots (3-8)$$



شكل (3-1) الرسم المحيطي (Contour Plot) دوال الكثافة الهدف (D, E, K, and L)

الفصل الثالث

الجانب التجريبي

ويبين الشكل (3-1) انواع دوال الكثافة المستعملة وهي دالة الهدف الكاوسيية D و دالة الهدف الكاوسيية E التي يكون لها توزيع طبيعي بالصفات المحددة في ارقام المعادلات (3-5) و (3-4). ودالة الهدف K و L هي الدوال المنحرفة عن التوزيع الطبيعي.

وبذلك يكون ملخص النماذج المستعملة كما في الجدول (3-1) الآتي:

جدول (3-1) ملخص النماذج المفترضة في جداول المحاكاة

Model	n	K	Traget density
1	100	1000	D
	500		E
	1000		K
	5000		L
2	100	2000	D
	500		E
	1000		K
	5000		L
3	100	3000	D
	500		E
	1000		K
	5000		L
4	100	5000	D
	500		E
	1000		K
	5000		L

سادساً : المقارنة بين اساليب التحليل التمييزي (Comparing between Approches)

تمت المقارنة بين طرائق التحليل التمييزي باستعمال معدل خطأ التصنيف والانحراف المعياري لخطأ

التصنيف عند كل دالة كثافة لبيبة والذي صيغته كالتالي:

$$\widehat{MR} = 1 - m^{-1} \sum_{j=1}^m 1 \{ Y_j \text{ is correctly classified using KDA} \} \quad \dots \quad (3-9)$$

ومن ثم تحديد أفضل أسلوب من بين الأساليب المستعملة في التقدير التي تمتلك أقل نسبة الخطأ

.(\widehat{MR})

3-3: تحليل نتائج المحاكاة (Analysis of Experiments Results)

تمت المقارنة بين اساليب التحليل التمييزي الآتية :

التحليل التمييزي الخطي (LDA)

التحليل التمييزي التربيعي (QDA)

التحليل التمييزي اللمبي (KDA)

التحليل التمييزي اللمبي الحصين (RKDA)

وكما في الجداول الآتية :

الفصل الثالث

الجانب التجريبي

جدول (3-2) المعدل والانحراف المعياري لخطأ التصنيف وفق أساليب التحليل التمييزي للاتموذج الأول

Target Density	n	k	method	LDA	QDA	KDA	RKDA		
D	100	1000	MR	0.05892	0.08992	0.19092	0.22343		
			STD	0.00152	0.00671	0.00211	0.00115		
E			MR	0.04456	0.05675	0.15322	0.21134		
			STD	0.00133	0.00455	0.00115	0.00132		
K			MR	0.13331	0.15643	0.05462	0.00462		
			STD	0.00235	0.00364	0.00143	0.00111		
L			MR	0.16794	0.14788	0.00835	0.00342		
			STD	0.00366	0.00227	0.00127	0.00045		
Target Density	n	k	metho d	LDA	QDA	KDA	RKDA		
D	500	1000	MR	0.04792	0.07892	0.17992	0.21243		
			STD	0.00448	0.00429	0.00689	0.00685		
E			MR	0.04575	0.03356	0.14222	0.20022		
			STD	0.00567	0.00645	0.00785	0.00761		
K			MR	0.12231	0.14543	0.00533	0.04362		
			STD	0.00265	0.00236	0.00152	0.00142		
L			MR	0.15694	0.13688	0.00265	0.00258		
			STD	0.00734	0.00873	0.00973	0.00151		
Target Density	N	k	metho d	LDA	QDA	KDA	RKDA		
D	1000	1000	MR	0.14344	0.11891	0.01131	0.11845		
			STD	0.01245	0.01673	0.00343	0.01433		

E			MR	0.12895	0.11234	0.05534	0.11324		
			STD	0.04553	0.02346	0.00114	0.01146		
K			MR	0.02253	0.04456	0.00335	0.00226		
			STD	0.00454	0.00466	0.00131	0.00245		
L			MR	0.03433	0.11322	0.00167	0.00118		
			STD	0.00542	0.02123	0.00253	0.00103		
Target Density	N	k	method	LDA	QDA	KDA	RKDA		
D	5000	1000	MR	0.11244	0.08791	0.01969	0.08745		
			STD	0.01855	0.01427	0.00757	0.03667		
E			MR	0.06795	0.05134	0.00431	0.08224		
			STD	0.01453	0.00754	0.02922	0.01954		
K			MR	0.00847	0.01356	0.00662	0.00271		
			STD	0.02646	0.02634	0.00961	0.00151		
L			MR	0.00333	0.08222	0.02933	0.00024		
			STD	0.02558	0.00977	0.02847	0.00191		

نلاحظ من جدول (3-2) ما يأتي:

(1) عندما ($n=100$, $k=1000$) كان اسلوب التحليل التمييزي الخطى هو الافضل عند دوال

الهدف (D, E) بأقل خطأ تصنيف بلغ (0.05892) و (0.04456) على التوالي، يليه اسلوب

التحليل التمييزي التربيعي عند نفس دوال الهدف ، وان اسلوب التحليل التمييزي الليي الحصين

كان هو الافضل عند الدوال (K) بأقل خطأ تصنيف بلغ (0.00462) و (0.00342) على

التوالي.

الفصل الثالث

الجانب التجريبي

(2) عندما ($n=500$, $k=1000$) كان اسلوب التحليل التمييزي الخطى هو الافضل عند دالة الهدف

(D) بأقل خطأ تصنيف بلغ (0.01131) على التوالى ، يليه اسلوب التحليل التمييزي التربيعي

باقل خطأ تصنيف بلغ (0.03356) عند دالة الهدف (E) ، وان اسلوب التحليل التمييزي الليبي

كان هو الافضل عند دوال الهدف (K) بأقل خطأ تصنيف بلغ (0.00533). يليه اسلوب

التحليل التمييزي الليبي الحصين عند دالة الهدف (L) بلغ (0.00258).

(3) عندما ($n=1000$, $k=1000$) كان اسلوب التحليل التمييزي الليبي هو الافضل عند دوال

الهدف (D, E) بأقل خطأ تصنيف بلغ (0.04792) و (0.05534) على التوالى ، يليه اسلوب

التحليل التمييزي التربيعي باقل خطأ تصنيف عند دالة الهدف (E) باقل خطأ تصنيف بلغ

(0.05534) ، وان اسلوب التحليل التمييزي الليبي الحصين كان هو الافضل عند دوال الهدف

(K, L) باقل خطأ تصنيف بلغ (0.00226) و (0.00118) على التوالى.

(4) عندما ($n=5000$, $k=1000$) كان اسلوب التحليل التمييزي الليبي هو الافضل عند دوال الهدف

(D, E) بأقل خطأ تصنيف بلغ (0.01969) و (0.00431) على التوالى ، يليه اسلوب التحليل

التمييزي التربيعي باقل خطأ تصنيف عند دالة الهدف (E) باقل خطأ تصنيف بلغ (0.05534) ،

وان اسلوب التحليل التمييزي الليبي الحصين كان هو الافضل عند دوال الهدف (L, K) باقل خطأ

تصنيف بلغ (0.00271) و (0.00024) على التوالى.

**جدول (3-3) المعدل والانحراف المعياري لخطأ التصنيف وفق أساليب التحليل التميزي
للانموذج الثاني**

Target Density	n	K	Method	LDA	QDA	KDA	RKDA		
D	100	2000	MR	0.04762	0.05893	0.17941	0.23424		
			STD	0.00148	0.00329	0.00789	0.04983		
E			MR	0.04552	0.03344	0.11222	0.19033		
			STD	0.00467	0.00245	0.00482	0.00662		
K			MR	0.12231	0.14543	0.04362	0.00638		
			STD	0.01165	0.02336	0.00657	0.00289		
L			MR	0.15694	0.13688	0.00265	0.00252		
			STD	0.03734	0.02873	0.00273	0.00055		
Target Density	N	K	Method	LDA	QDA	KDA	RKDA		
D	500	2000	MR	0.02662	0.03793	0.15841	0.21324		
			STD	0.01952	0.01771	0.01311	0.02883		
E			MR	0.02452	0.01244	0.09122	0.16933		
			STD	0.01633	0.01855	0.01618	0.01438		
K			MR	0.10131	0.12443	0.02262	0.01462		
			STD	0.00935	0.00236	0.01443	0.01811		
L			MR	0.33594	0.10588	0.01535	0.01482		
			STD	0.01634	0.00773	0.01827	0.02045		
Target Density	N	K	Method	LDA	QDA	KDA	RKDA		
D	1000	2000	MR	0.05643	0.02402	0.03538	0.15128		

			STD	0.03312	0.03775	0.00255	0.03318
E			MR	0.10733	0.13244	0.02923	0.03242
			STD	0.03439	0.04855	0.03618	0.00231
K			MR	0.06241	0.09466	0.02738	0.02441
			STD	0.02233	0.03816	0.00443	0.00231
L			MR	0.27394	0.04388	0.03537	0.01487
			STD	0.03634	0.02773	0.03827	0.01042
Target Density	N	K	Method	LDA	QDA	KDA	RKDA
D	5000	2000	MR	0.39743	0.36502	0.17631	0.49228
			STD	0.37412	0.37875	0.34355	0.37418
E			MR	0.44833	0.47344	0.11024	0.37342
			STD	0.37539	0.38955	0.21711	0.34331
K			MR	0.40341	0.43566	0.36838	0.12541
			STD	0.36333	0.37916	0.34543	0.24331
L			MR	0.61494	0.38488	0.37637	0.05581
			STD	0.37734	0.36873	0.37927	0.25142

نلاحظ من جدول (3-3) ما يأتي:

(1) عندما ($n=100, k=2000$) كان اسلوب التحليل التمييزي الخطى هو الافضل عند دوال الهدف

(D) بأقل خطأ تصنيف بلغ (0.04762)، يليه اسلوب التحليل التمييزي التربيعي عند دالة

الهدف (E) بأقل خطأ تصنيف بلغ (0.03344)، وان اسلوب التحليل التمييزي الليبي الحصين كان

هو الافضل عند دوال الهدف (L, K) بأقل خطأ تصنيف بلغ (0.00638) و (0.00252) على

التوالى.

الفصل الثالث

الجانب التجريبي

(2) عندما ($n=500, k=2000$) كان اسلوب التحليل التميزي الخطى هو الافضل عند دالة الهدف (D) بأقل خطأ تصنيف بلغ (0.02452) على التوالى ، وان اسلوب التحليل التمييز اللي (0.02662) الحصين كان هو الافضل عند دوال الهدف (K) بأقل خطأ تصنيف بلغ(0.01462) و (0.01482) على التوالى.

(3) عندما ($n=1000, k=2000$) كان اسلوب التحليل التميزي اللي هو الافضل عند دالة الهدف (D) بأقل خطأ تصنيف بلغ (0.03538)، ، وان اسلوب التحليل التمييز اللي الحصين كان هو الافضل عند دوال الهدف (E, K, L) بأقل خطأ تصنيف بلغ (0.03242) و (0.02441) و (0.01487) على التوالى.

(4) عندما ($n=5000, k=2000$) كان اسلوب التحليل التميزي اللي هو الافضل عند دوال الهدف (D, E) بأقل خطأ تصنيف بلغ (0.11024) و (0.17631) على التوالى ، يليه اسلوب التحليل التمييز التربيعي بأقل خطأ تصنيف عند دالة الهدف (E) بأقل خطأ تصنيف بلغ (0.05534) ، وان اسلوب التحليل التمييز اللي الحصين كان هو الافضل عند دوال الهدف (K, L) بأقل خطأ تصنيف بلغ (0.12541) و (0.05581) على التوالى.

**جدول (3-4) المعدل والانحراف المعياري لخطأ التصنيف وفق أساليب التحليل التميزي
للانموذج الثالث**

Target Density	N	K	method	LDA	QDA	KDA	RKDA
D	100	3000	MR	0.00662	0.01793	0.13841	0.19324
			STD	0.03952	0.03771	0.03311	0.00883
E			MR	0.00452	0.00756	0.07122	0.14933
			STD	0.03633	0.03855	0.03618	0.03438
K			MR	0.08131	0.10443	0.00262	0.01461
			STD	0.02935	0.01764	0.03443	0.03811
L			MR	0.11594	0.09588	0.03835	0.00148
			STD	0.00466	0.01327	0.00273	0.00051
Target Density	N	K	method	LDA	QDA	KDA	RKDA
D	500	3000	MR	0.03438	0.02307	0.09741	0.15224
			STD	0.00148	0.00329	0.00789	0.03217
E			MR	0.03648	0.03344	0.03022	0.10833
			STD	0.00467	0.00245	0.00482	0.00662
K			MR	0.04031	0.06343	0.03838	0.02639
			STD	0.01165	0.02336	0.00657	0.00289
L			MR	0.07494	0.05488	0.00265	0.00151
			STD	0.03634	0.02773	0.00827	0.00049
Target Density	N	K	method	LDA	QDA	KDA	RKDA
D	1000	3000	MR	0.00652	0.01793	0.05641	0.11124
			STD	0.00952	0.03771	0.03311	0.00883

E			MR	0.00452	0.00756	0.01078	0.06733		
			STD	0.03633	0.03855	0.03618	0.03438		
K			MR	0.01461	0.02243	0.00262	0.00069		
			STD	0.02811	0.01764	0.03443	0.00935		
L			MR	0.03949	0.03835	0.02394	0.00018		
			STD	0.04051	0.03273	0.00466	0.00327		
Target Density	N	K	method	LDA	QDA	KDA	RKDA		
D	5000	3000	MR	0.03438	0.02307	0.00541	0.07024		
			STD	0.03148	0.00329	0.00189	0.03217		
E			MR	0.03648	0.03344	0.00022	0.02633		
			STD	0.00467	0.00245	0.00112	0.00662		
K			MR	0.02639	0.01857	0.03838	0.00031		
			STD	0.01289	0.02336	0.00657	0.00165		
L			MR	0.00151	0.00265	0.01706	0.00012		
			STD	0.00049	0.00827	0.03634	0.00103		

نلاحظ من جدول (3-4) ما يأتي:

1) عندما ($n=100, k=3000$) كان اسلوب التحليل التمييزي الخطى هو الافضل عند دوال الهدف (D, E) بأقل خطأ تصنيف بلغ (**0.00662**) و (**0.00452**) على التوالي ، يليه اسلوب التحليل التمييزي الليبي عند دالة الهدف (K) بأقل خطأ تصنيف بلغ (**0.00262**)، وان اسلوب التحليل التمييزي الليبي كان هو الافضل عند دوال الهدف (L) بأقل خطأ تصنيف بلغ (**0.00148**) .

2) عندما ($n=500, k=3000$) كان اسلوب التحليل التمييزي التربيعي هو الافضل عند دالة الهدف (D) بأقل خطأ تصنيف بلغ (**0.02307**) ، اسلوب التحليل التمييزي الليبي هو الافضل عند دالة الهدف

الفصل الثالث

الجانب التجريبي

(E) بأقل خطأ تصنيف بلغ (**0.03022**) ، وان اسلوب التحليل التمييز الليبي كالحسينان هو الافضل

عند دوال الهدف (L, K) بأقل خطأ تصنيف بلغ (**0.02639**) و (**0.00151**) على التوالي.

(3) عندما (**n=1000, k=3000**) كان اسلوب التحليل التميزي الخطى هو الافضل عند دالة الهدف

(D, E) بأقل خطأ تصنيف بلغ (**0.000652**) و (**0.00452**) على التوالي ، وان اسلوب التحليل

التمييز الليبي الحسين كان هو الافضل عند دوال الهدف (K, L) بأقل خطأ تصنيف بلغ (**0.00069**) و

(**0.00018**) على التوالي.

(4) عندما (**n=5000, k=3000**) كان اسلوب التحليل التميزي الليبي هو الافضل عند دوال الهدف

(D, E) بأقل خطأ تصنيف بلغ (**0.00022**) و (**0.00541**) على التوالي ، وان اسلوب التحليل التمييز

الليبي الحسين كان هو الافضل عند دوال الهدف (L, K) بأقل خطأ تصنيف بلغ (**0.00031**) و

(**0.00012**) على التوالي.

جدول (3-5) المعدل والانحراف المعياري لخطأ التصنيف وفق أساليب التحليل التمييزي
للانموذج الرابع

Target Density	N	k	method	LDA	QDA	KDA	RKDA
D	100	5000	MR	0.03792	0.06892	0.16992	0.20243
			STD	0.01948	0.01429	0.01889	0.01985
E			MR	0.02356	0.03575	0.13222	0.19034
			STD	0.01967	0.01645	0.01985	0.01968
K			MR	0.11231	0.13543	0.03362	0.01638
			STD	0.01865	0.01736	0.01957	0.01989
L			MR	0.14694	0.12688	0.01265	0.01058
			STD	0.01734	0.01873	0.01973	0.02055
Target Density	N	k	method	LDA	QDA	KDA	RKDA
D	500	5000	MR	0.01692	0.04792	0.14892	0.18143
			STD	0.00152	0.00671	0.00211	0.00115
E			MR	0.00256	0.01475	0.11122	0.16934
			STD	0.00133	0.00455	0.00115	0.00132
K			MR	0.09131	0.11443	0.01262	0.00462
			STD	0.00235	0.00364	0.00143	0.00111
L			MR	0.12594	0.10588	0.00835	0.00042
			STD	0.00366	0.00227	0.00127	0.00045
Target Density	N	K	method	LDA	QDA	KDA	RKDA
D	1000	5000	MR	0.01338	0.01559	0.00207	0.04924
			STD	0.01048	0.01911	0.01771	0.01117

E			MR	0.01548	0.01244	0.00124	0.00533		
			STD	0.01633	0.01855	0.00588	0.01438		
K			MR	0.00539	0.00243	0.01738	0.00069		
			STD	0.00811	0.00236	0.01443	0.01935		
L			MR	0.01949	0.01835	0.00394	0.00018		
			STD	0.02051	0.01273	0.01534	0.00394		
Target Density	N	K	method	LDA	QDA	KDA	RKDA		
D	5000	5000	MR	0.00762	0.01893	0.00541	0.02824		
			STD	0.01052	0.00329	0.00189	0.00983		
E			MR	0.01976	0.00856	0.00552	0.01567		
			STD	0.01512	0.00245	0.00467	0.00662		
K			MR	0.01561	0.01857	0.02031	0.00411		
			STD	0.01289	0.01864	0.00165	0.00657		
L			MR	0.01706	0.02082	0.00265	0.00112		
			STD	0.00566	0.01706	0.00827	0.00049		

نلاحظ من جدول (3-5) ما يأتي:

(1) عندما ($n=100, k=3000$) كان اسلوب التحليل التمييزي الخطى هو الافضل عند دوال

الهدف (D, E) بأقل خطأ تصنيف بلغ (0.03792) و (0.02356) على التوالي ، يليه اسلوب

التحليل التمييزى اللي الحصين عند دالة الهدف (K) بأقل خطأ تصنيف بلغ (0.01638) و

على التوالي . (0.01058)

(2) عندما ($n=500, k=3000$) كان اسلوب التحليل التمييزي الخطى هو الافضل عند دالة الهدف

(D, E) بأقل خطأ تصنيف بلغ (0.01692) و (0.00242) على التوالي ، وان اسلوب

الفصل الثالث

الجانب التجريبي

التحليل التمييز الليبي الحصين هو الافضل عند دوال الهدف (K, L) باقل خطأ تصنيف بلغ

(0.00042) و (0.00462) على التوالي.

(3) عندما ($n=1000$, $k=3000$) كان اسلوب التحليل التمييزي الخطى هو الافضل عند دالة

الهدف (D, E) بأقل خطأ تصنيف بلغ (0.00124) و (0.00207) على التوالي ، ، وان

اسلوب التحليل التمييز الليبي الحصين كان هو الافضل عند دوال الهدف (K, L) باقل خطأ

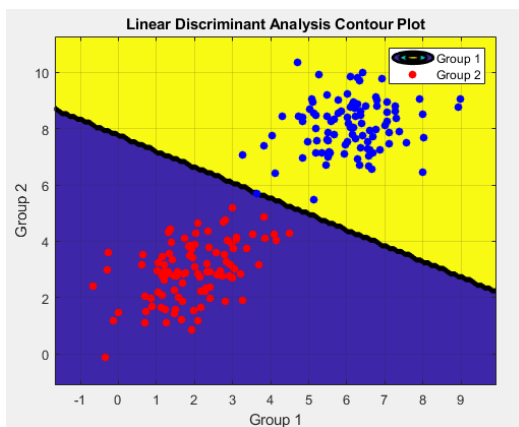
تصنيف بلغ (0.00018) و (0.00069) على التوالي.

(4) عندما ($n=5000$, $k=3000$) كان اسلوب التحليل التمييزي الليبي هو الافضل عند دوال

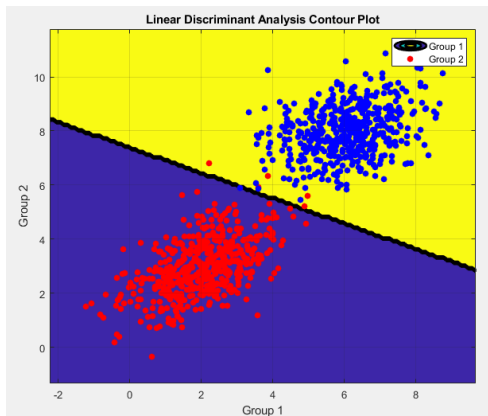
الهدف (D, E) بأقل خطأ تصنيف بلغ (0.00552) و (0.00541) على التوالي ، وان

اسلوب التحليل التمييز الليبي الحصين كان هو الافضل عند دوال الهدف (K, L) باقل خطأ

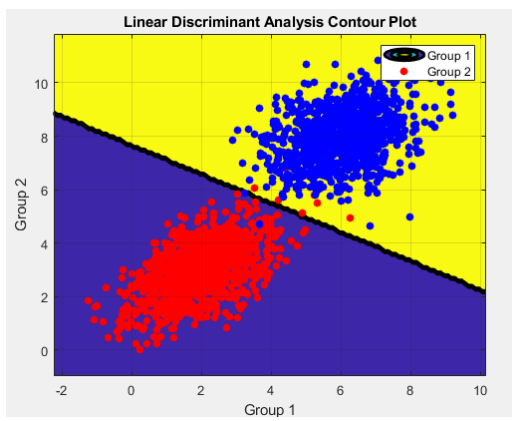
تصنيف بلغ (0.00411) و (0.00112) على التوالي.



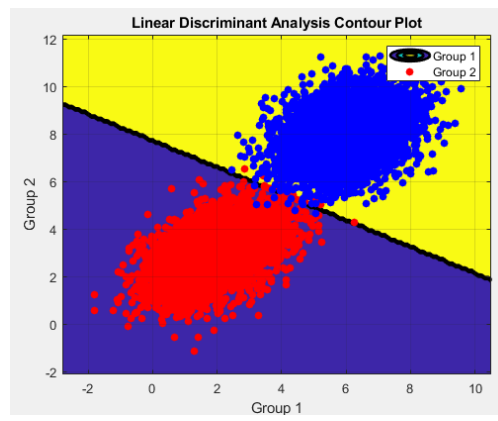
شكل (3-2) التصنيف وفق التحليل
المتميزي الخطى عندما
 $n=100$,
 $k=1000$



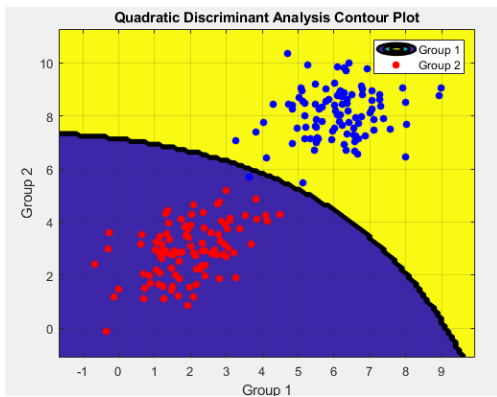
شكل (3-3) التصنيف وفق التحليل
المتميزي الخطى عندما
 $n=500$,
 $k=1000$



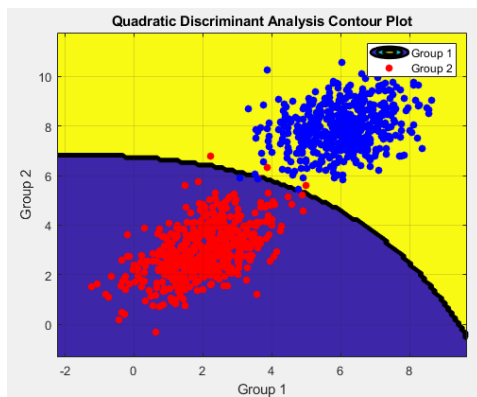
شكل (3-4) التصنيف وفق التحليل
المتميزي الخطى عندما
 $n=1000$,
 $k=1000$



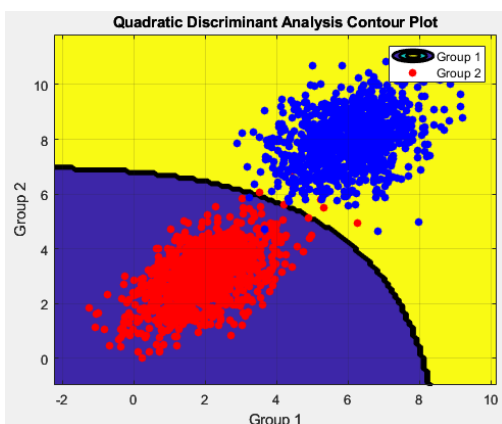
شكل (3-5) التصنيف وفق التحليل
المتميزي الخطى عندما
 $n=5000$,
 $k=1000$



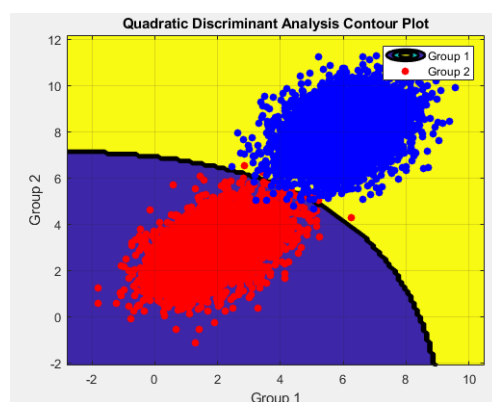
شكل (3-6) التصنيف وفق التحليل التمييزي التربيعي عندما $n=100$, $k=1000$



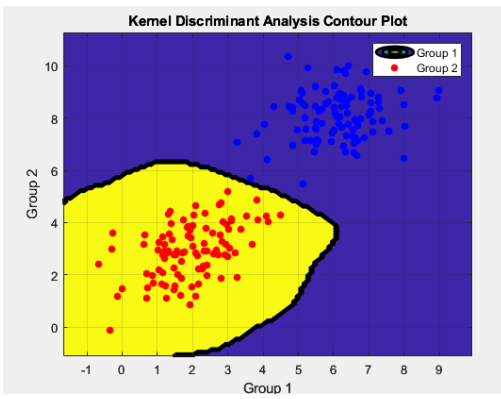
شكل (3-7) التصنيف وفق التحليل التمييزي التربيعي عندما $n=500$, $k=1000$



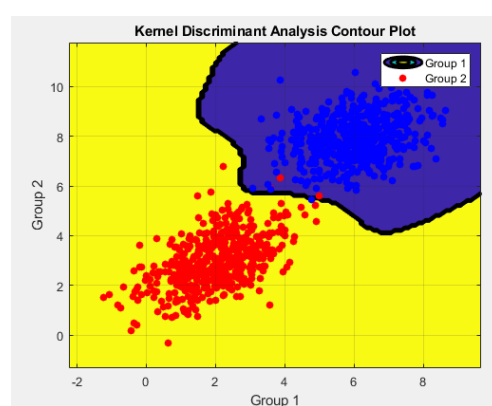
شكل (3-8) التصنيف وفق التحليل التمييزي التربيعي عندما $n=1000$, $k=1000$



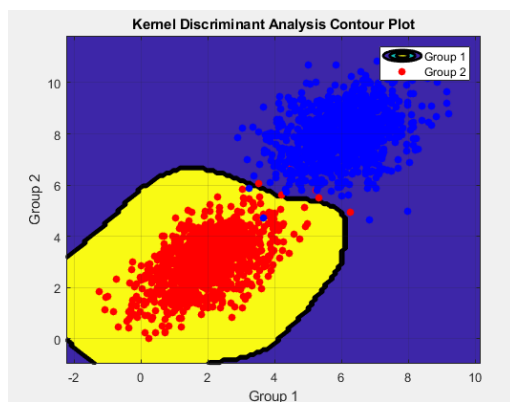
شكل (3-9) التصنيف وفق التحليل التمييزي التربيعي عندما $n=5000$, $k=1000$



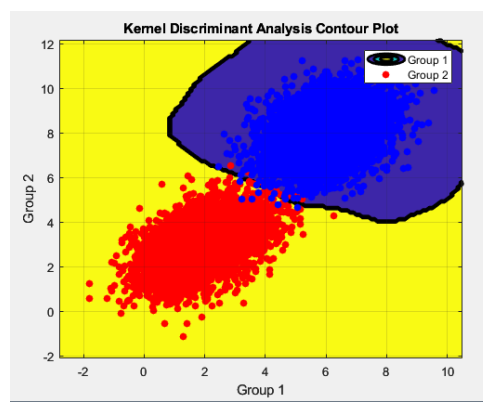
شكل (3-10) التصنيف وفق التحليل التمييزي الليبي عندما
 $n=100$, $k=1000$



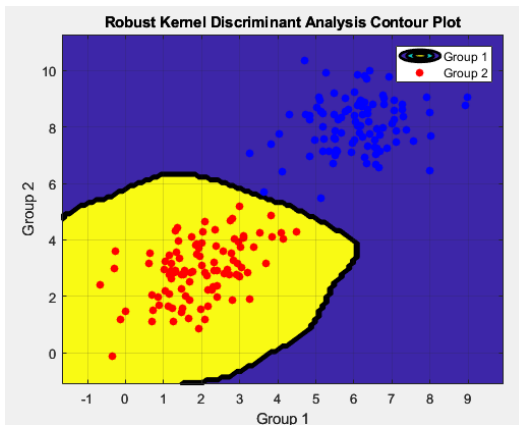
شكل (3-11) التصنيف وفق التحليل التمييزي الليبي عندما
 $n=500$, $k=1000$



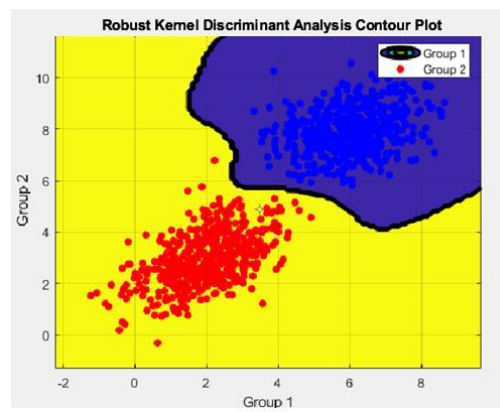
شكل (3-12) التصنيف وفق التحليل التمييزي الليبي عندما
 $n=1000$, $k=1000$



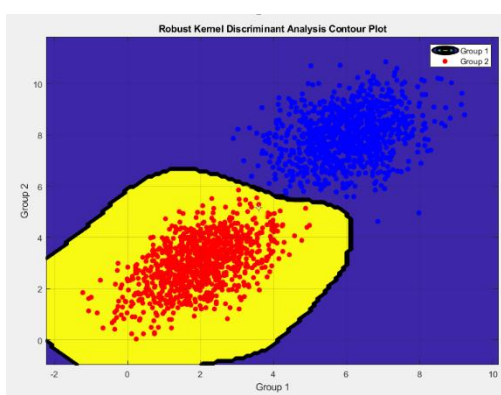
شكل (3-13) التصنيف وفق التحليل التمييزي الليبي عندما
 $n=5000$, $k=1000$



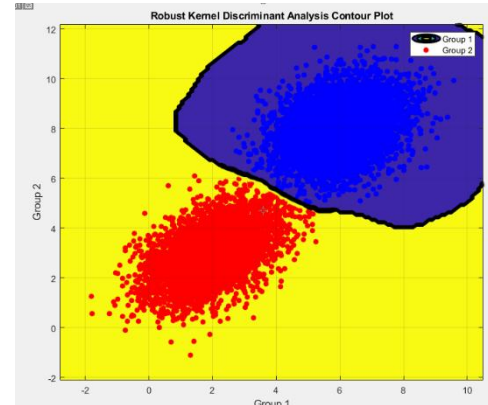
شكل (3-14) التصنيف وفق التحليل التمييزي الليبي الحصين عندما $n=100$, $k=1000$



شكل (3-15) التصنيف وفق التحليل التمييزي الليبي الحصين عندما $n=500$, $k=1000$



شكل (3-16) التصنيف وفق التحليل التمييزي الليبي الحصين عندما $n=1000$, $k=1000$



شكل (3-17) التصنيف وفق التحليل التمييزي الليبي الحصين عندما $n=5000$, $k=1000$

الفصل الثالث

الجانب التجريبي

تبين الأشكال (3-2) الى (3-17) ان اسلوب التحليل التمييزي الليبي الحصين قد زاد من دقة تصنيف المشاهدات بين المجموعات اذ تم الفصل وفق معدل خطأ تصنيف قليل جداً مقرمة بالاساليب الاخرى كما نلاحظ من المنطقة الزرقاء والمنطقة الصفراء اذ هنالك فصل تام بين نقاط المجموعتين ولا توجد نقاط تداخل مع كلا المجموعتين. على كل التحليل التمييزي الليبي اذ نلاحظ ان هنالك بعض نقاط المشاهدات تداخلت بين المنطقة الصفراء والمنطقة الزرقاء اي ان الفصل ليس تام بين المجموعتين.

ولبيان افضلية اساليب التحليل التمييزي ندرج ادناه جدول الافضلية الذي يبين عدد مرات الافضلية ونسب الافضلية لكل اسلوب وعند كل حجم عينة تدريب وعينة اختبار

جدول (3-6) عدد مرات الافضلية ونسب الافضلية لكل اسلوب وعند كل دالة هدف

Traget density	No.	Ratio	No.	Ratio	No.	Ratio	No.	Ratio
	LDA		QDA		KDA		RKDA	
D	8	13	0	0	7	11	0	0
E	6	9	2	3	6	9	1	2
K	0	0	0	0	3	5	15	23
L	0	0	0	0	0	0	16	25

نلحظ من جدول (3-6) ما يأتي:

1- حق اسلوب التحليل التمييزي الخطى افضلية على باقى اساليب التحليل التمييزي عند دوال

الكثافة التي تتوزع طبيعياً (D, E) وبنسبة (13%) و (9%) لكل دلة كثافة على التوالي،

وحق اسلوب التحليل التمييزي الليبي افضلية عند هذه الدوال عند حجم العينة (n=1000),

(5000) بنسبة (%) 11

الفصل الثالث

الجانب التجريبي

- 2- حقق اسلوب التحليل التمييزي الليبي افضلية على باقي الامثلية عند دالة الكثافة (K) بنسبة قليلة بلغت (%) 5.
- 3- حقق اسلوب التحليل التمييزي الليبي الحصين افضلية على باقي الامثلية عند دوال الكثافة المنحرفة عن التوزيع الطبيعي بنسبة افضلية (%) 23 و (%) 25 لكل دالة كثافة على التوالي.

الفصل الرابع

الجانب التطبيقي

تمهيد (Preface)

تم في هذا الفصل استعمال بيانات حقيقة لمجموعتين من المصابين وغير المصابين بابيضاض الدم المفاوي وتطبيق الطريقة التي تبين افضليتها في الجانب التجاري وهي طريقة التحليل التميزي الibi الحصين بعد ان تم اختبار البيانات

4-1 ابيضاض الدم المفاوي (Lymphocytic Leukemia)

ابيضاض الدم المفاوي هو حالة تحدث عندما يكون هناك زيادة في عدد خلايا الدم المفاوية في الجسم. الخلايا المفاوية هي جزء من جهاز المناعة وتلعب دوراً مهماً في مكافحة العدوى والأمراض. ويتميز ابيضاض الدم المفاوي بزيادة عدد خلايا المفاوية في الدم بشكل غير طبيعي.

هناك عدة أسباب محتملة لابيضاض الدم المفاوي، ومنها:

1. الإلتهابات: يمكن أن تؤدي الإلتهابات المزمنة إلى زيادة إنتاج الخلايا المفاوية.
2. الأمراض النقيضية: بعض الأمراض النقيضية تسبب زيادة في إنتاج الخلايا المفاوية، مثل مرض ليغفوما هودجكين واللوكيمية.
3. اضطرابات في نخاع العظم: بعض الاضطرابات في نخاع العظم يمكن أن تسبب زيادة في إنتاج الخلايا المفاوية.
4. استجابة مناعية مفرطة: بعض الاضطرابات المناعية يمكن أن تؤدي إلى ارتفاع نشاط الخلايا المفاوية.
5. أمراض الدم الوراثية: بعض الأمراض الوراثية يمكن أن تسبب زيادة في إنتاج الخلايا المفاوية.

الفصل الرابع

الجانب التطبيقي

لتحديد السبب الدقيق وعلاج إبيضاض الدم المفاوي، يجب استشارة الطبيب وإجراء الفحوصات والاختبارات اللازمة. العلاج يعتمد على السبب والحالة الصحية الفي عامة للشخص، ويمكن أن يشمل العلاج الأدوية أو العلاج الإشعاعي أو زراعة نخاع العظم في بعض الحالات.

تشمل أعراض إبيضاض الدم المفاوي التعب، والحمى، والأورام اللمفية المتضخمة، وفقدان الوزن غير المبرر. يمكن تشخيص هذه الحالة من خلال فحص دم واستشارة الطبيب. يعتمد العلاج على السبب الرئيسي للحالة وقد يشمل علاج الالتهابات أو العلاج الكيميائي إذا كان سبباً للمشكلة هو وجود ورم لمفي.

هناك أنواع مختلفة من الأبيضاض المفاوي، منها:

1. **لمفوما هودجكين (Hodgkin Lymphoma):** هذا النوع من الأبيضاض المفاوي يتميز بوجود خلية ريد ستيرنبرغ (Reed-Sternberg cell) في الأنسجة المصابة. يمكن علاجه بنجاح في معظم الحالات.

2. **لمفوما غير هودجكين (Non-Hodgkin Lymphoma):** هذا النوع يتضمن العديد من الأشكال المختلفة من الأبيضاض المفاوي ويمكن أن يكون أكثر تتوعاً وصعوبة في العلاج.

3. **اللوكيميا (Leukemia):** اللوكيميا هي نوع من السرطان الذي يؤثر على الدم والنقي العظمي. تحدث عندما تتكاثر خلايا الدم المفاوية بشكل غير طبيعي وتتملي النقى العظمى بالخلايا السرطانية.

4-2 عينة التطبيق: (Applied Sample)

تم الاعتماد على سجلات وحدة المختبر في مستشفى الحسين التعليمي في محافظة كربلاء المقدسة لغرض الحصول على المتغيرات التي لها علاقة بمرض إبيضاض الدم المفاوي (Lymphocytic

الفصل الرابع

الجانب التطبيقي

والتى تضمنت (100) مشاهدة من الذكور والإناث وقد قسمت المشاهدات إلى مجموعتين وكالآتى:

1-المجموعة الأولى : شملت الأشخاص الغير المصابين بالمرض بحجم (50) مشاهدة ورمزنا لهم بالرمز (1).

2-المجموعة الثانية: شملت الأشخاص المصابين بالمرض بحجم (50) مشاهدة ورمزنا لهم بالرمز (2)

وكانت متغيرات التطبيق كالآتى:

Y : متغير مثل الاصابة ام عدم الاصابة بالمرض ،اذ ان الرمز (1) إذا كان الشخص غير مصاب ، و (2) إذا كان الشخص مصاب بالمرض .

ان اغلب الدراسات الطبية التي تناولت مرض ابيضاض الدم المفاوي حددت عدة عوامل تؤثر على الإصابة بالمرض وهي كالآتى:

X₁ : جنس المصاب اذ يرمز (1) للذكور و (2) للإناث.

4.00 X₂ : خلايا الدم البيضاء WBC ونسبة بيضها الطبيعية هي .(- 11.0)

X₃ : خلايا الدم الحمراء RBC ونسبة بيضها الطبيعية هي (3.90 – 6.50)

X₄ : نسبة هيموجلوبين الدم HGB ونسبة بيضها الطبيعية هي (11.5 – 17.5)

الفصل الرابع

الجانب التطبيقي

X_5 : نسبة الصفائح الدموية PLT ونسبتها الطبيعية هي (150.0 - 450)

وان:

\widehat{MR} نسبة خطأ التصنيف الكلي، اذ ان:

$\widehat{MR} 1$ نسبة خطأ التصنيف للمجموعة الأولى

$\widehat{MR} 2$ نسبة خطأ التصنيف للمجموعة الثانية.

والجدولين (4-1) و (4-2) يمثلان البيانات الحقيقة من المصابين بالمرض وغير المصابين اذ ضمت المجموعة الأولى (5) متغيرات والمجموعة الثانية (5) متغيرات.

جدول (4-1) البيانات الحقيقة للمجموعة الأولى التي تمثل المرضى غير مصابين

N	Y	X_1	X_2	X_3	X_4	X_5
1	1	1.00	4.77	4.44	11.81	445.00
2	1	1.00	6.55	5.56	16.55	361.00
3	1	2.00	5.56	6.11	15.65	232.00
4	1	1.00	5.22	4.89	14.45	167.00
5	1	2.00	6.44	4.67	11.90	168.00

6	1	1.00	6.78	4.89	13.40	182.00
7	1	1.00	9.44	5.00	15.67	199.00
8	1	2.00	6.89	4.12	14.23	233.00
9	1	1.00	8.44	6.01	11.12	432.00
10	1	2.00	5.22	3.71	10.45	156.00
11	1	2.00	10.33	4.78	13.50	254.00
12	1	1.00	9.78	5.55	16.30	355.00
13	1	2.00	8.56	4.39	14.45	311.00
14	1	1.00	10.33	4.56	15.34	212.00
15	1	1.00	6.45	4.44	13.13	432.00
16	1	1.00	8.45	5.33	13.44	166.00
17	1	1.00	7.67	5.01	13.22	355.00
18	1	1.00	6.66	5.15	12.22	189.00
19	1	1.00	9.54	6.05	12.99	179.35
20	1	1.00	8.55	4.26	12.56	118.00
21	1	1.00	1.11	6.78	3.11	185.00
22	1	1.00	7.44	5.93	15.90	222.00

23	1	2.00	6.44	4.51	12.70	381.00
24	1	1.00	11.99	4.22	15.80	178.50
25	1	1.00	1.67	4.80	12.40	295.00
26	1	2.00	6.54	3.98	12.13	356.50
27	1	1.00	9.78	3.99	12.00	322.00
28	1	2.00	7.66	4.81	12.10	231.00
29	1	1.00	10.51	5.21	13.80	342.00
30	1	1.00	7.56	4.57	14.40	123.00
31	1	2.00	10.21	4.78	12.80	33.00
32	1	2.00	8.11	4.56	12.90	273.00
33	1	1.00	9.13	4.56	11.99	438.00
34	1	2.00	7.32	4.44	1.10	294.00
35	1	2.00	8.55	5.78	15.60	411.00
36	1	2.00	9.44	5.56	16.34	162.00
37	1	2.00	7.34	4.66	14.01	313.00
38	1	1.00	10.12	5.22	13.55	113.00
39	1	2.00	9.11	7.00	12.51	326.00

40	1	2.00	4.44	5.94	12.60	414.00
41	1	1.00	10.11	5.25	15.10	401.00
42	1	2.00	9.89	1.32	7.31	49.00
43	1	2.00	5.15	2.55	14.55	374.00
44	1	2.00	2.99	4.56	13.78	355.00
45	1	2.00	4.99	4.89	12.676	426.00
46	1	2.00	9.12	4.88	12.78	294.00
47	1	2.00	9.11	4.67	14.61	498.00
48	1	1.00	9.56	4.44	16.78	421.00
49	1	2.00	10.55	4.45	15.04	212.00
50	1	2.00	8.11	4.66	14.42	152.00

جدول (4-2) البيانات الحقيقية للمجموعة الأولى التي تمثل المرضى مصابين

N	Y	X ₁	X ₂	X ₃	X ₄	X ₅
1	2	2.00	1.21	4.23	10.55	109.00
2	2	1.00	7.70	4.76	12.34	133.00
3	2	1.00	0.99	4.51	9.33	167.00

4	2	2.00	7.60	5.17	13.66	182.00
5	2	1.00	5.60	5.27	12.10	296.00
6	2	1.00	2.52	3.32	14.20	79.00
7	2	1.00	10.20	5.83	17.20	201.00
8	2	2.00	2.70	4.01	12.80	108.00
9	2	2.00	3.60	5.26	14.55	32.00
10	2	2.00	2.00	4.04	11.34	204.00
11	2	2.00	3.00	4.01	9.67	343.00
12	2	2.00	0.58	4.73	10.44	118.00
13	2	1.00	1.66	1.44	3.22	64.80
14	2	1.00	8.30	3.17	12.22	83.00
15	2	2.00	4.90	3.87	10.32	212.00
16	2	2.00	3.60	4.60	12.10	261.00
17	2	2.00	3.48	4.13	9.11	124.00
18	2	1.00	2.73	2.14	7.33	42.00
19	2	2.00	2.30	5.25	13.33	127.22
20	2	1.00	2.60	5.05	12.78	384.00

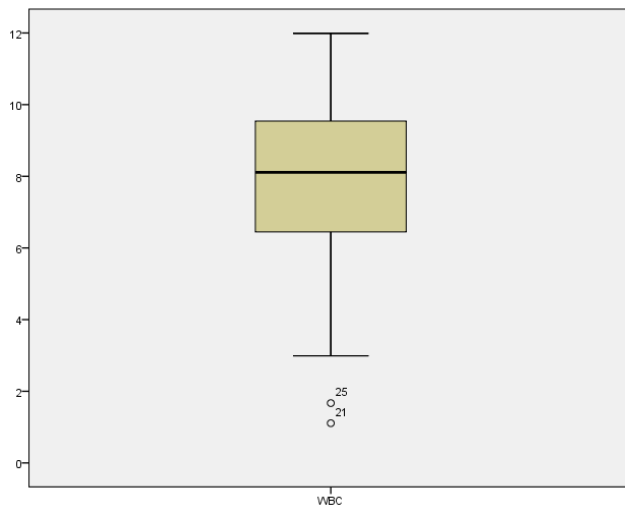
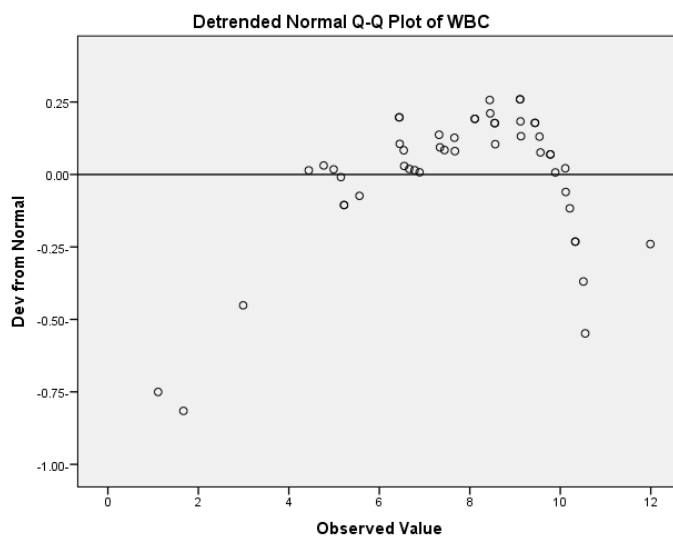
21	2	1.00	3.97	4.64	12.20	412.00
22	2	1.00	1.10	3.93	10.77	168.00
23	2	2.00	1.40	7.46	14.22	124.00
24	2	2.00	1.33	3.09	9.23	211.00
25	2	2.00	2.60	4.42	12.21	376.00
26	2	2.00	3.00	5.91	11.11	407.00
27	2	2.00	1.34	2.73	6.35	376.00
28	2	2.00	3.50	4.77	11.80	108.00
29	2	2.00	3.82	3.51	3.87	293.00
30	2	2.00	1.52	2.59	8.23	74.30
31	2	1.00	15.10	4.20	1.32	210.00
32	2	2.00	35.60	2.84	2.52	176.00
33	2	1.00	11.60	3.23	9.51	41.00
34	2	2.00	13.80	4.82	13.10	42.00
35	2	2.00	2.90	3.58	10.70	212.00
36	2	2.00	2.20	4.78	13.10	22.80
37	2	2.00	2.10	4.38	2.50	37.00

38	2	1.00	2.51	3.61	8.01	75.00
39	2	2.00	2.14	3.59	10.50	255.00
40	2	2.00	1.60	4.51	12.70	312.00
41	2	2.00	2.93	4.51	12.20	188.00
42	2	2.00	2.87	4.09	8.70	135.00
43	2	1.00	1.32	5.83	12.60	165.00
44	2	2.00	2.29	4.73	11.10	121.00
45	2	2.00	1.94	5.63	8.60	85.00
46	2	2.00	2.51	3.53	8.90	113.00
47	2	2.00	1.78	4.52	1.55	15.00
48	2	1.00	1.60	3.66	8.87	184.00
49	2	2.00	2.81	4.60	10.31	149.00
50	2	1.00	2.60	4.20	5.23	242.00

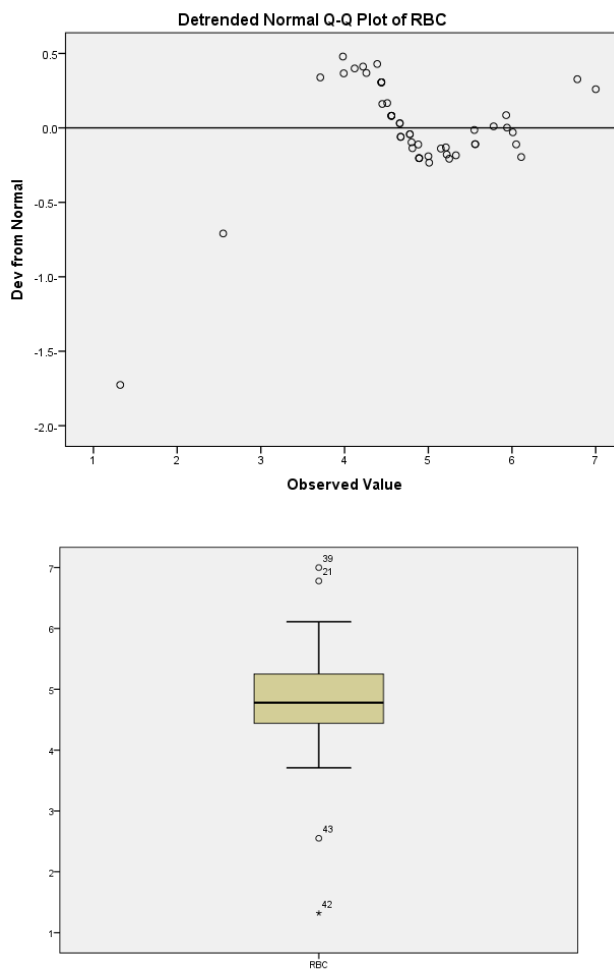
3-4 اختبار البيانات: (Data Test)

تم اختبار خطية البيانات باستعمال الرسم (Quantile Plot - Q-Q-Plot) لتأكد من انها غير خطية وكذلك رسم الشكل الانتشاري لاكتشاف وجود قيم شاذة من عدمها باستعمال البرنامج الاحصائي SPSS Ver23. وكالاتي:

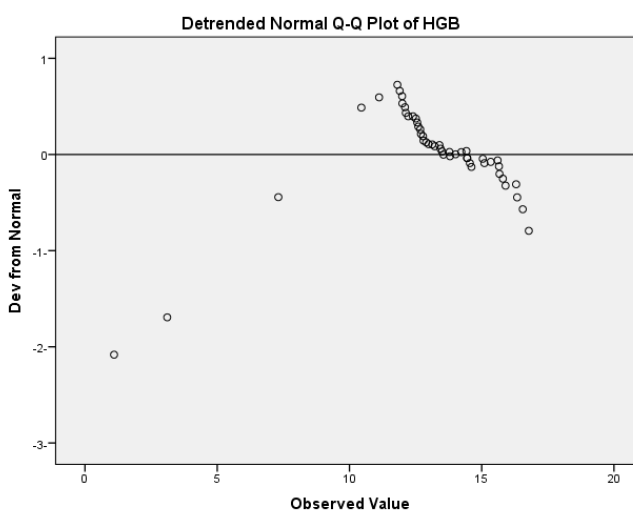
اولاً: بالنسبة لبيانات الغير مصابين:

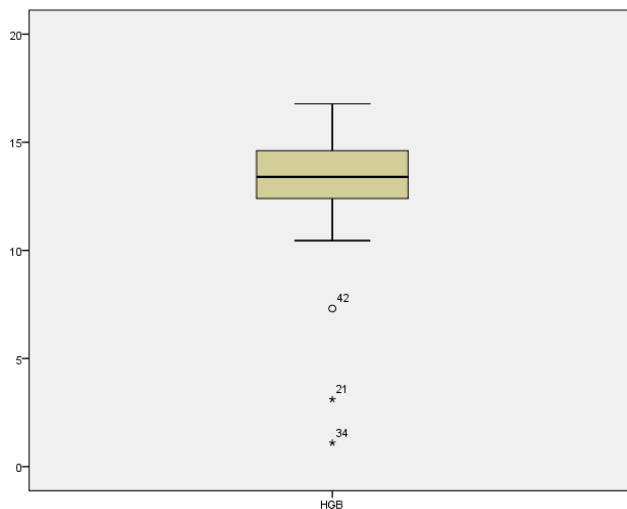


شكل (4-1) انتشار البيانات للمتغير WBC لمجموعة الغير مصابين

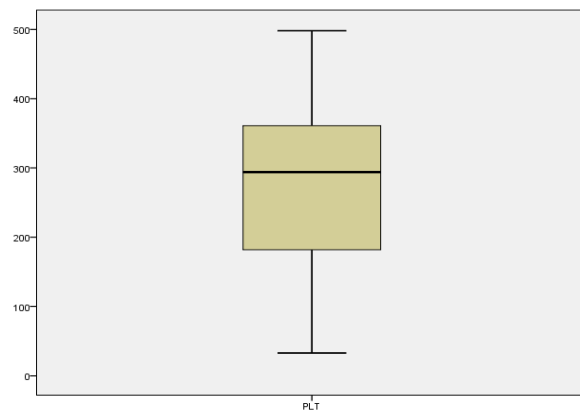
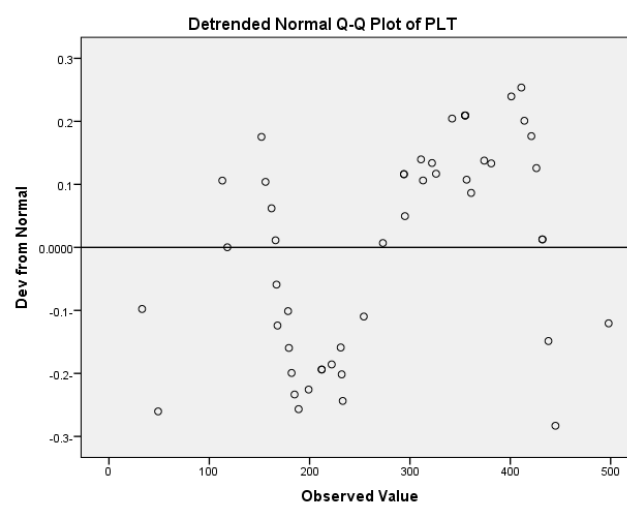


شكل (4-2) انتشار البيانات للمتغير RBC لمجموعة الغير مصابين



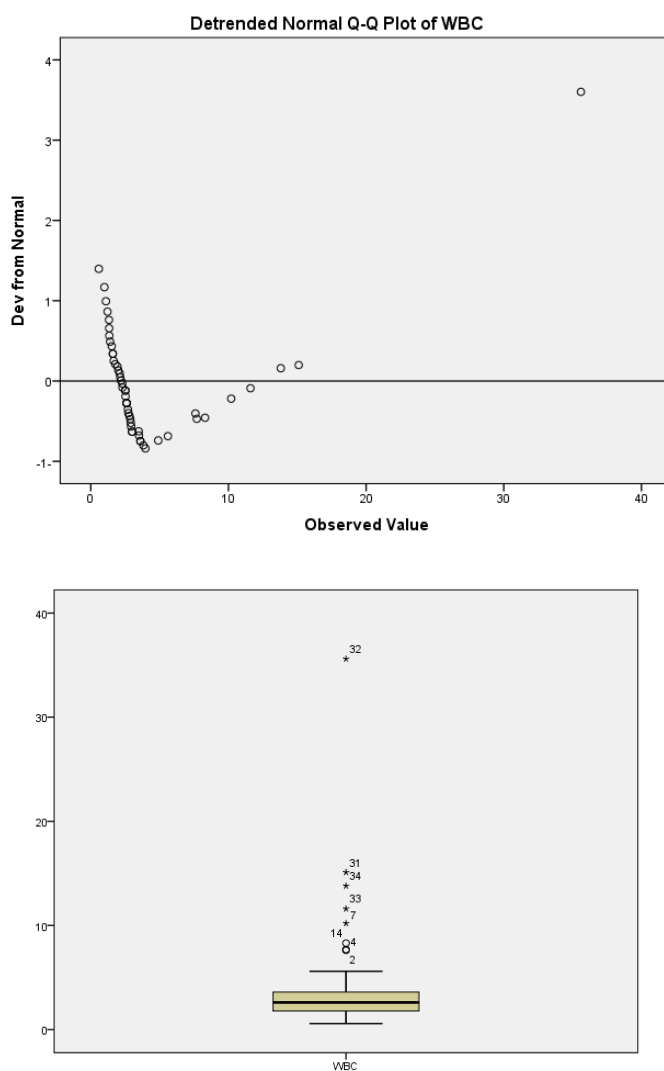


شكل رقم (4-3) انتشار البيانات للمتغير HGB لمجموعة الغير مصابين

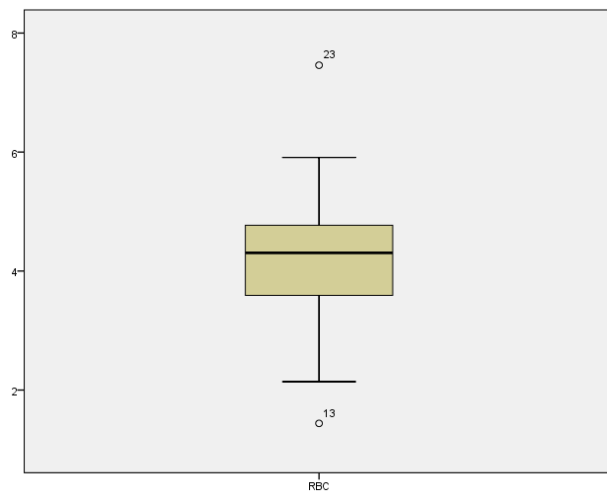
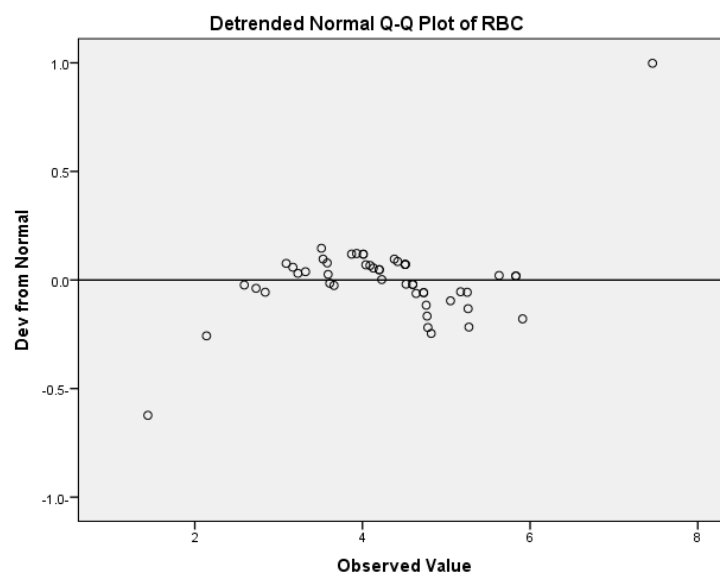


شكل رقم (4-4) انتشار البيانات للمتغير PLT لمجموعة الغير مصابين

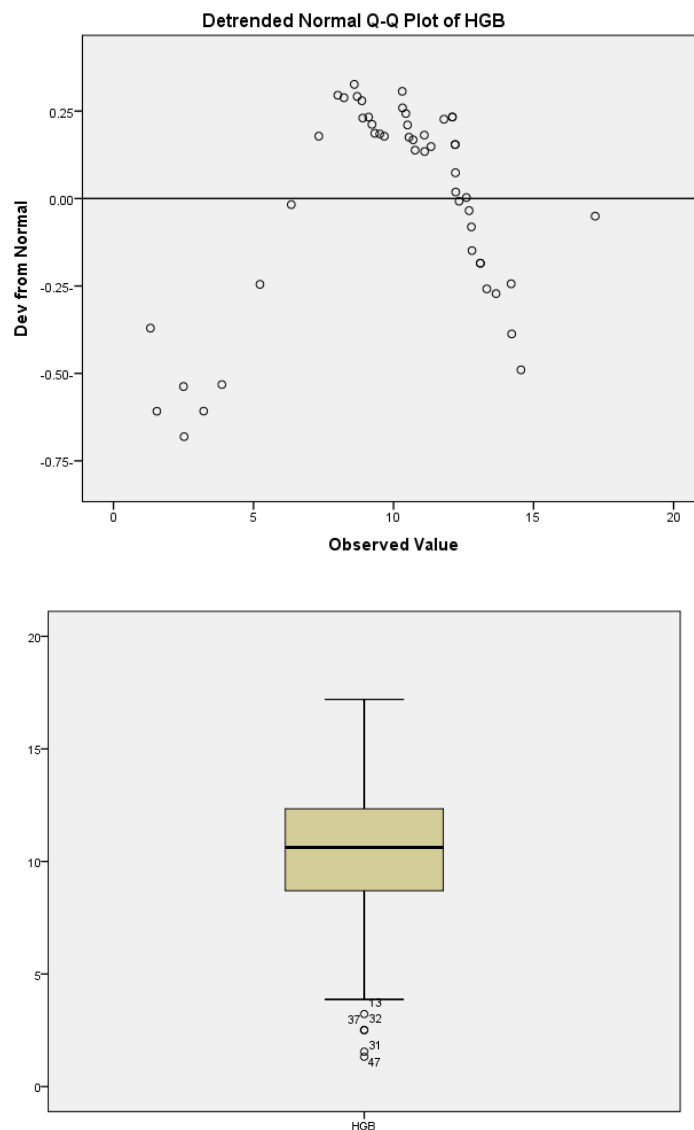
ثانياً: بالنسبة لبيانات المصابين:



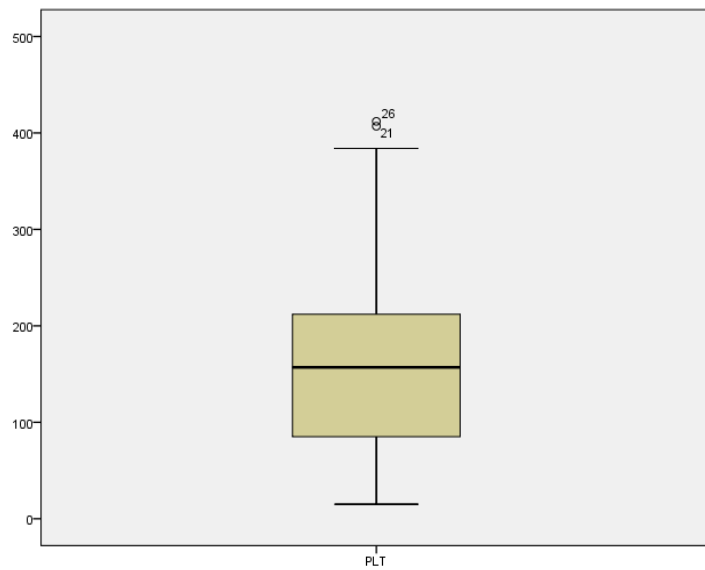
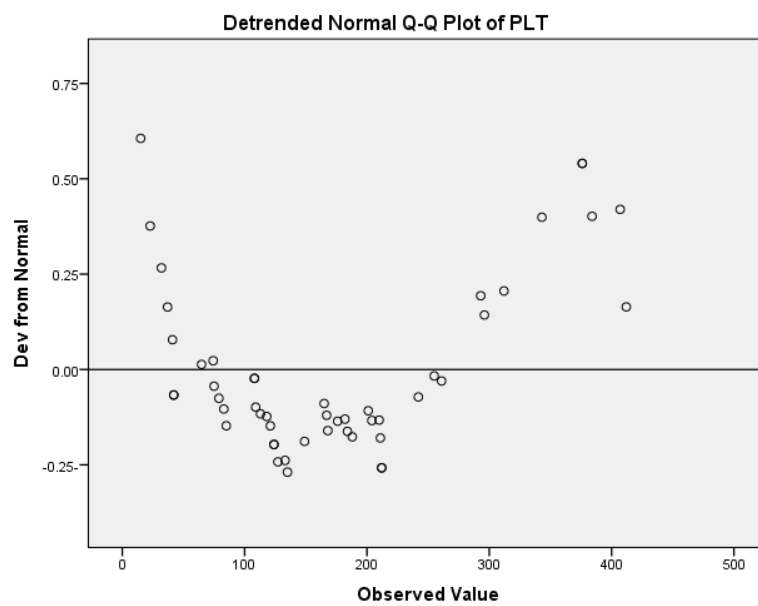
شكل (4-5) انتشار البيانات للمتغير WBC لمجموعة المصابين



شكل (4-6) انتشار البيانات للمتغير RBC لمجموعة المصابين



شكل رقم (4-7) انتشار البيانات للمتغير HGB لمجموعة المصابين



شكل رقم (4-8) انتشار البيانات للمتغير PLT لمجموعة المصابين

نلاحظ من الاشكال (4-1) الى (4-8) ان مجموعة المصابين وغير المصابين تمثل بيانات لا خطية ولا تتبع التوزيع الطبيعي وكذلك تحتوي على قيم شاذة وخاصة مجموعة المصابين فهي تحتوي على قيم شاذة كثيرة وتبتعد عن التوزيع الطبيعي .

4-4 تحليل البيانات: (Data Analysis)

تبين في الجانب التجاري افضلية اسلوب التحليل التمييزي الليبي الحصين (RKDA) على باقي اساليب التحليل التمييزي عند دوال الكثافة المنحرفة عن التوزيع الطبيعي وبما ان البيانات الحقيقية غير خطية ولا تتبع التوزيع الطبيعي وتحتوي قيم شاذة فيمكن تطبيق هذه الطريقة لغرض ايجاد نسبة خطأ التصنيف وتصنيف المشاهدات بدقة عالية وكما مبين في جدول (4-3) الآتي:

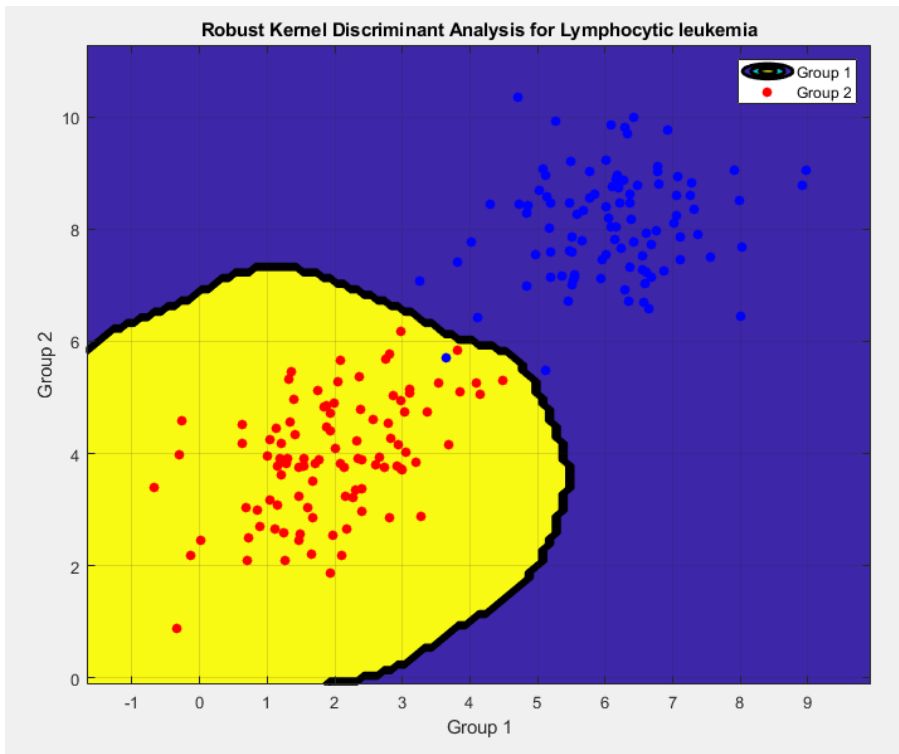
جدول (4-3) نسبة خطأ التصنيف (\widehat{MR}) للبيانات الحقيقية باستعمال اسلوب التحليل التمييزي الليبي

الحصين

RKDA			\widehat{MR}	
Estimate \ True	Estimate 1	Estimate 2	\widehat{MR} 1	\widehat{MR} 2
True 1	44	6	0.12	0.56
True 2	33	17	0.34	

يوضح الجدول رقم (4-3) معدل خطأ التصنيف (\widehat{MR}) والقيم التقديرية لعدد المشاهدات الصحيحة وغير الصحيحة لكل مجموعة فقد تبين ان اسلوب التحليل التمييزي الليبي الحصين اعطى نسبة خطأ

التصنيف للمجموعة الأولى $\widehat{MR}_1 = 0.12$ و للمجموعة الثانية $\widehat{MR}_2 = 0.56$ ، وبذلك تكون نسبة خطأ التصنيف الكلي (\widehat{MR}) بلغ (0.34).



شكل (4-9) التحليل التمييزي اللبي الحصين للبيانات الحقيقية
نلحظ من الشكل (4-9) ان هنالك تمييز تام بين مشاهدات المجموعتين (المصابين وغير المصابين) اذ
ان المنطقة الصفراء المحددة باللون الاسود تمثل مجموعة الغير المصابين بمعزل عن مجموعة
المصابين التي تمثلها المنطقة الزرقاء اي ان التحليل التمييزي قام بالتمييز بصورة دقيقة بين مشاهدات
المجموعتين .

الفصل الخامس

الاستنتاجات

و

التصصيات

1-5 الاستنتاجات (Conclusions)

بالاعتماد على ما تم التوصل اليه من نتائج في الجانبين التجريبي والتطبيقي تم ادراج الاستنتاجات الآتية:

1- اسلوب التحليل التمييزي الخطى هو الافضل من باقى اساليب التحليل التمييزي عند دوال الكثافة

التي تتوزع طبيعياً (D, E)

2- حق اسلوب التحليل التمييزي اللي افضلية عند دول الكثافة (D, E) عند حجم العينة (n=1000)

. (5000)

3- حق اسلوب التحليل التمييزي اللي افضلية على باقى الاساليب عند دالة الكثافة (K) بنسبة قليلة.

4- حق اسلوب التحليل التمييزي اللي الحصين افضلية على باقى الاساليب عند دوال الكثافة المنحرفة عن التوزيع الطبيعي بنسبة افضلية عالية.

5- ان اسلوب التحليل التمييزي اللي الحصين اعطى نسبة خطأ التصنيف للمجموعة الأولى \widehat{MR}_1 بلغ (0.12) وللمجموعة الثانية \widehat{MR}_2 (0.56) ، وبذلك تكون نسبة خطأ التصنيف الكلى (\widehat{MR}) وهي نسبة خطأ قليلة تدل على دقة التصنيف.

2-5 التوصيات (Recommendations)

من خلال ما تم التوصل اليه من استنتاجات ندرج التوصيات الآتية:

- 1- ضرورة استعمال اسلوب التحليل التمييزي الليبي الحصين في حالة كون البيانات تبتعد عن التوزيع الطبيعي او توجد قيم شاذة ضمنها.
- 2- استعمال التحليل التمييزي البيزي في حالة كون البيانات تحتوي على قيم شاذة
- 3- استعمال دوال كثافة غير الكاوسيّة مثل دالة ايبانكتشوف لتطبيق اسلوب التحليل التمييزي الليبي الحصين.
- 4- استعمال عرض الحزمة القطرية غير طريقة العبور الشرعي كان تكون طريقة متوجه آلات الدعم (Support Vector Machine)

المصادر

• المراجع

القرآن الكريم

أولاً : المصادر العربية:

1. حميد ، آلاء عماد ، داود ، باسل خضر نون ، باسل يونس ، ، (2009)، " دراسة

إحصائية للتذرير الحر في منطقة الموصل بطريقة المقدر الليبي" قاعدة بيانات الملخصات

العلمي، الموصل، مجلة هندسة الرافدين. Vol.17 No.5

2. جاسم ، سكينة شامل ، (2020) . ، دارسة مقارنة بين اسلوب التحميل التمييزي الخطي و اسلوب التحليل التمييزي الليبي" ، المجلة العراقية للعلوم الادارية . المجلد (14) ، العدد (55) .

3. بسيوني ، عبد الرحيم عوض عبد الخالق، (2021) ، " استخدام التحليل التمييزي في التصنيف والتنبؤ "، مجلة التجارة والتمويل ، المجلد 41، العدد 3

سبتمبر 2021 الصفحة 325-297

4. محمد ، لقاء علي ، عبود ، أمير علي، (2020) ، (مقارنة مقدرات عرض الحزمة) معلمة التمهيد (باستخدام الدوال الليبية في تحليل المركبات الرئيسية)، مجلة كلية التراث الجامعية العدد العشرون ، 412

ثانياً : المصادر الأجنبية:

5. Adolfo Hernández and Santiago Velilla , (2016), " Dimension Reduction in Nonparametric Kernel Discriminant Analysis ", Journal of Computational and Graphical Statistics, Volume 14, Number 4, Pages 847-866 DOI: 10.1198/106186005X79610

6. Benyamin Ghojogh, Mark Crowley, (2019), " Linear and Quadratic Discriminant Analysis: Tutorial ", arXiv:1906.02590v1 [stat.ML] 1 Jun 2019.
7. Cai, L., Liu, Y., & Liu, H. (2019). Discriminant Analysis on Riemannian Manifold for Hyperspectral Image Classification. *IEEE Transactions on Geoscience and Remote Sensing*, 57(7), 4562-4576. (Discusses Discriminant Analysis applied to hyperspectral image classification)
8. Chen, S., Zhang, D., & Zhang, H. (2019). Discriminant analysis-based neighborhood repulsed metric learning for face recognition. *Neurocomputing*, 333, 472-482. (An application of Discriminant Analysis in face recognition)
9. David Anthony Mercer,(2013), Nonparametric Discriminant Analysis in Forensic Ancestry Estimation: An Assessment of Utilized and Alternative Statistical Methods", TRACE: Tennessee Research and Creative Exchange.
10. Duda, R. O., Hart, P. E., & Stork, D. G. (2012). Pattern classification. John Wiley & Sons. (Chapter 4 provides an introduction to Linear Discriminant Analysis)
11. Gupt , Abhishek M.; Soni , Himanshu H.; Joshi , Raunak M.; Laban, Ronald Melwin, (2022), " DISCRIMINANT ANALYSIS IN

CONTRASTING DIMENSIONS FOR POLYCYSTIC OVARY
SYNDROME PROGNOSTICATION", A PREPRINT - JANUARY

12. Hastie, T., Tibshirani, R., & Friedman, J. (2009). The elements of statistical learning: data mining, inference, and prediction. Springer Science & Business Media. (Chapter 4 covers
13. Hastie, T., Tibshirani, R., & Friedman, J. (2009). The Elements of Statistical Learning: Data Mining, Inference, and Prediction (2nd ed.). Springer
14. Li , Quanbao, Wei, Fajie, ; Zhou, Shenghan , (2017), " Local kernel nonparametric discriminant analysis for adaptive extraction of complex structures ", Open Phys. 2017; 15:270–279. DOI 10.1515/phys-2017-00303
15. Li-Pang Chen, (2022), " Classification and prediction for multi-cancer data with ultrahigh-dimensional gene expressions ", PLOS ONE.
16. Macdonald G. Obudho, George O. Orwa, Romanus O. Otieno, Festus A. Were, (2021), " Classification of Stateless People through a Robust Nonparametric Kernel Discriminant Function ", Open Journal of Statistics, 2022, 12, 563-580 <https://www.scirp.org/journal/ojs> ISSN Online: 2161-7198 ISSN Print: 2161-718X

17. McLachlan, G. J. (2004). Discriminant analysis and statistical pattern recognition. John Wiley & Sons. (A comprehensive book on Discriminant Analysis)
18. North, M. J., Macal, C. M., & Vos, J. R. (2019). Agent-Based Modeling and Simulation. The MIT Press.
19. Nudurupati , Sai Vamshidhar , (2009), " Robust Nonparametric Discriminant Analysis Procedures ", A Dissertation Submitted to the Graduate Faculty of Auburn University in Partial Ful_llment of the Requirements for the Degree of Doctor of Philosophy Auburn, Alabama.
20. Obudho , Macdonald G., Orwa , George O., Otieno, Romanus O., Were, Festus A. , (2022), "Robust Classification through a Nonparametric Kernel Discriminant Analysis", Open Journal of Statistics, 2022, 12, 443-455 <https://www.scirp.org/journal/ojs> ISSN Online: 2161-7198 ISSN Print: 2161-718X.
21. Obudho, M. , Orwa, G. , Otieno, R. and Were, F. (2022) Robust Classification through a Nonparametric Kernel Discriminant Analysis. Open Journal of Statistics, 12, 443-455. doi: 10.4236/ojs.2022.124028.
22. Pidd, M. (2018). Computer Simulation in Management Science. Wiley.
23. Robinson, S., & Gerasimov, V. (2019). Continuous System Simulation. Springer International Publishing.

24. Sapkal, A. U., & Kale, K. K. (2012). Study and comparison of linear discriminant analysis and principal component analysis for feature extraction. International Journal of Engineering Research and Applications, 2(4), 2484-2489.
25. Seung-Jean Kim Alessandro Magnani Stephen P. Boyd, (2023), (Robust Fisher Discriminant Analysis), Advances in Neural Information Processing Systems 18, p659-666.
26. Srivastava, M. S., & Kubokawa, T. (2008). Topics in multivariate approximation and covariance matrix analysis. World Scientific Publishing Co. Pte. Ltd. (Chapter 9 discusses Quadratic Discriminant Analysis)
27. Wand, M. P., & Marron, J. S. (1991). "Ridge Estimators for the Smoothing of Differenced Data." Journal of Time Series Analysis, 12(2), 97-112.
28. You, D. , Onur, C.H. and Aleix M.M. (2011) , “ Kernel optimization in discriminant analysis “,Published in Xplore Digital Library , Volume: 33, Issue :3 .
29. Yu, Weichang,_ Azizi, Lamiae, Ormerod , John T., (2019), " Variational Nonparametric Discriminant Analysis", Preprint submitted to Computational Statistics and Data Analysis

30. Zafeiriou,S. , Tzimiropoulos,G. , Petrou,M. and Stathaki,T. (2012), “Regularized kernel discriminant analysis with a Robust kernel for Face Recognition and Verification”, Published in IEEE Transactions on neural networks and learning systems, Vol. 23. Issue . 3.PP. 526-534.
31. Zhang, D., & Zhou, Z. H. (2007). ML-KNN: A lazy learning approach to multi-label learning. Pattern Recognition, 40(7), 2038-2048. (Shows an application of Discriminant Analysis in multi-label learning)
32. Zhang,X. L. and Yang ,G. (2014) , “ Distributed Face Recognition Using Multiple Kernel Discriminant Analysis in Wireless Sensor Networks”, Published in International Journal of Distributed Sensor Networks,Vol . 2014, Article ID 242105, 7 pages.
33. Zhifeng Li, Xiaoou Tang, (2009), " Nonparametric Discriminant Analysis for Face Recognition ", IEEE TRANSACTIONS ON PATTERN ANALYSIS AND MACHINE INTELLIGENCE, VOL. 31, NO. 4, APRIL 2009

Abstract

The majority of data in our real world deviates from the ideal assumptions required by traditional statistical methods, which causes a violation of the assumption of normality in the data, or there is data collected that represents non-linear data, and as a result we may face a problem in classification. Traditional discriminant analysis cannot confront this problem, so it must From searching for a robust method that deals with this problem, therefore, this thesis aimed to use the Robust Kenel Discriminant Analysis (RKDA) method in case the data deviate from its normal state and compare it with traditional Robust Kenel Discriminant Analysis and quadratic discriminant analysis using the classification error rate criterion. (MR)[^]To choose the best classification method, through two aspects: the experimental aspect, and using Monte-Carlo simulation experiments. It was found that the linear discriminant analysis method is better than the rest of the discriminant analysis methods when the target density functions are normally distributed (D, E), and that the method Core discriminant analysis achieved an advantage in Gaussian density states (D, E) at sample size (n=1000, 5000). The core discriminant analysis method achieved an advantage over the rest of the methods when the density function (K) was achieved by a small percentage. The hippocampal core discriminant analysis method also achieved an advantage over other methods when density functions deviate from the normal distribution with a high percentage of preference.

In applied side, we depend on the reports of the laboratory unit at Al-Hussein Teaching Hospital in the Holy Governorate of Karbala for the purpose of obtaining variables related to lymphocytic leukemia, which included 100 observations from males and females. The observations were divided into two groups, the first It included people who did not have the disease with a size of (50) views, and the second included people with the disease with a size of (50) views. The application variables were Y: a variable such as having or not having the disease. The explanatory variables are X1: the sex of the infected person, X2: white blood cells (WBC). Blood Cells), X3: RBC (Red Blood Cells), X4: HGB (Hemoglobin Blood) percentage, and The classification for the first group is \widehat{MR}_1 (0.12) and for the second group is \widehat{MR}_2 (0.56). Thus, the overall classification error rate (\widehat{MR}) was (0.34), which is a small error rate that indicates the accuracy of the classification.



**Republic of Iraq
Ministry of Higher Education
And Scientific Research
University of Karbala
Faculty of Management
And Economics
Department of Statistics
Graduate Studies**

Robust classification Using Nonparametric Kernel Discriminant Analysis with an Application

A thesis

**Submitted to the council of the college of
Administration &Economics\ University of Karbala as
partial fulfillment of the requirements for the Master
degree in Statistics Sciences**

By

Ja'afar Ali Farhan

Supervision

Asst. Prof. Dr. Enas Abdul Hafedh Mohammed

A.H. 1445

A.D. 2024